4H-EC3BL Beul- u. Querschnittsklasse 4-Nachweise Detailinformationen

Seite überarbeitet Dezember 2023	Kontakt	Progra	mmübersicht 🚹	Bestelltext
Infos auf dieser Seite				als pdf 🔼
Eingabeoberfläche	🚺 🄹 Theorie Bl	echbeulen EC 3-1-5	🚺 🏿 Methode r	eduz. Spanngn. 📋
Geometrie u. Material	🚺 🌸 Schubv	erzerrungen	i 🌸 flanschind	uz. Stegbeulen 🚺
Rechenlaufsteuerung	🚺 🌸 Verf. wi	rksame Q-Fläche	🚺 🌸 Steifen	i
Nachweisergebnisse	🚺 🄹 Schubb	eulen	i 🦸 Querschni	ittsklasse [i
Schnittgrößen	🚺 🌸 Querlas	tbeulen	i	
Schnittgrößenimport	🚺 🔹 Interakti	ionen	🚺 🏿 Werkzeug B	eulfaktoren 🚺

Eingabeoberfläche

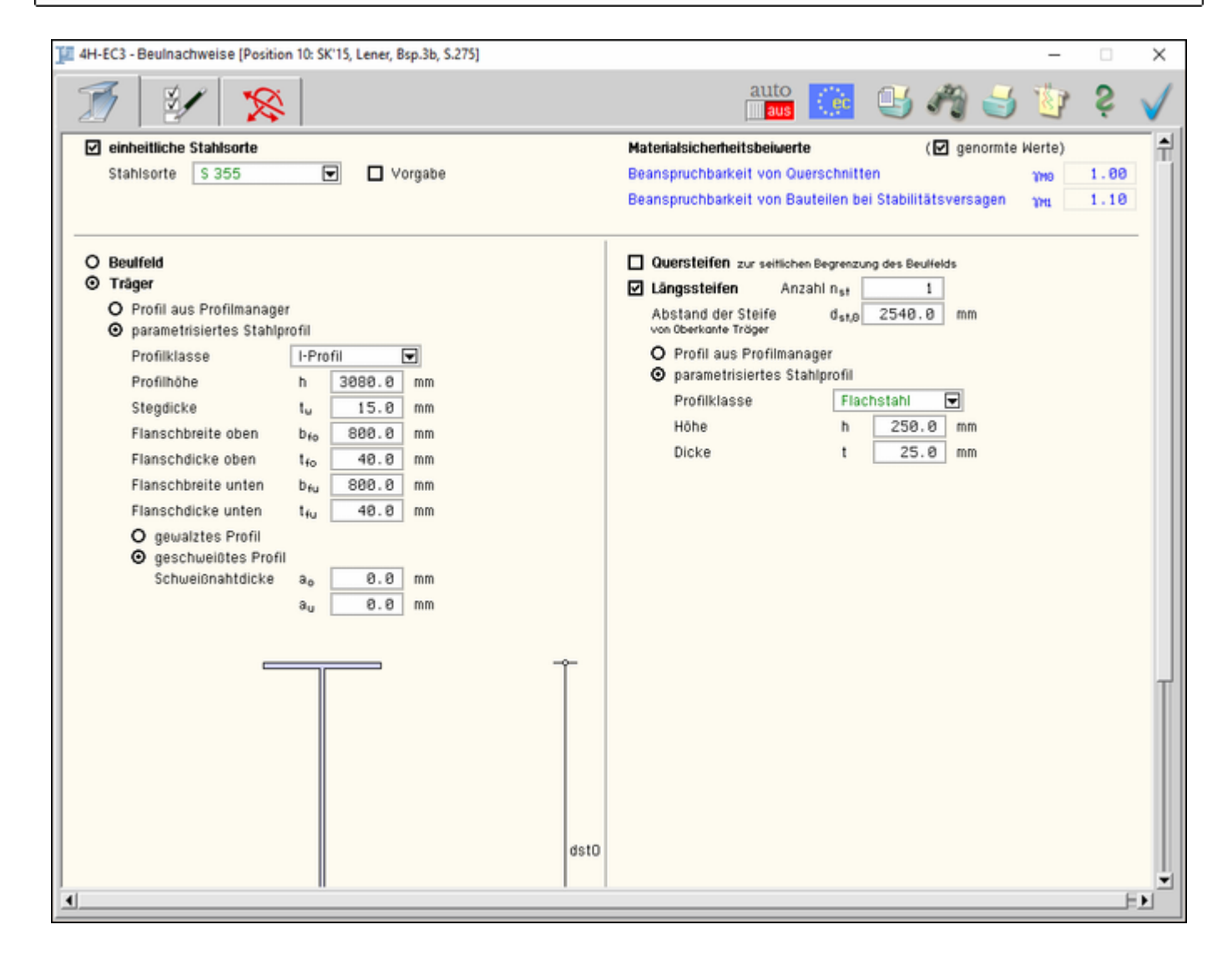


Bild vergrößern 🗨

Mit dem Programm 4H-EC3BL, Beulnachweise, können einzelne Beulfelder oder ausgewählte Trägerprofile nachgewiesen werden.

Die zugehörigen Verbindungsparameter werden in eigenen Registerblättern verwaltet, die über folgende Symbole

die dahinter liegende Parameterauswahl kenntlich machen.



Geometrie und Material

Im ersten Registerblatt werden das Beulprofil beschrieben und die Stahlgüte festgelegt. Der Querschnitt wird zur visuellen Kontrolle maßstäblich am Bildschirm dargestellt.



Rechenlaufsteuerung

Im zweiten Registerblatt werden die nachweisrelevanten Parameter zur Steuerung des Rechenlaufs angegeben.



Bemessungsschnittgrößen

Die Schnittgrößen werden im dritten Registerblatt festgelegt und können entweder 'per Hand' eingegeben oder aus einem pcae-Programm importiert werden.

Um Schnittgrößen importieren zu können, muss das entsprechende *4H*-Programm in der exportfähigen Version installiert sein.

Die Schnittgrößen beziehen sich auf den Schwerpunkt des ggf. ausgesteiften Profils und das Koordinatensystem der Statik (x-y-z bzw. l-m-n).



automatische Onlineberechnung

Dieser Schalter kann **an** oder **aus** sein. Ist er **an**, wird während der Eingabe online das Berechnungsergebnis aktualisiert und am Bildschirm protokolliert.



nationaler Anhang

Weiterhin ist zur vollständigen Beschreibung der Berechnungsparameter der dem Eurocode zuzuordnende nationale Anhang zu wählen.

Über den **NA-Button** wird das entsprechende Eigenschaftsblatt aufgerufen.



Ausdrucksteuerung

Im Eigenschaftsblatt, das nach Betätigen des *Druckeinstellungs*-Buttons erscheint, wird der Ausgabeumfang der Druckliste festgelegt.



Druckliste einsehen

Das Statikdokument kann durch Betätigen des *Visualisierungs*-Buttons am Bildschirm eingesehen werden.



Ausdruck

Über den *Drucker*-Button wird in das Druckmenü gewechselt, um das Dokument auszudrucken. Hier werden auch die Einstellungen für die Visualisierung vorgenommen.



Planbearbeitung

Über den *Pläne-*Button wird das pcae-Programm zur Planbearbeitung aufgerufen.

Der aktuelle Querschnitt wird im pcae-Planerstellungsmodul dargestellt, kann dort weiterbearbeitet, geplottet oder im DXF-Format exportiert werden.



Onlinehilfe

Über den Hilfe-Button wird die kontextsensitive Hilfe zu den einzelnen Registerblättern aufgerufen.



Eingabe beenden

Das Programm kann mit oder ohne Datensicherung verlassen werden.

Bei Speichern der Daten wird die Druckliste aktualisiert und in das globale Druckdokument eingefügt.

Geometrie und Material



im Register 1 werden die Material- und Geometrie-Parameter festgelegt.

Teilsicherheitsbeiwerte

Im Programm 4H-EC3BL werden nach EC 3-1-8 folgende Materialsicherheitsbeiwerte herangezogen



Die Werte können entweder den entsprechenden Normen (s. Nationaler **Anhang**) entnommen oder vom Anwender vorgegeben werden.

Stahlsorte

Grundsätzlich kann jedem Tragelement ein eigenes Material zugeordnet werden.

Der Übersichtlichkeit halber kann an dieser Stelle eine einheitliche Stahlgüte für die Einzelelemente (Beulfeld, Quersteifen, Längssteifen, ggf. Kranbahnschiene) gewählt werden.

V	einheitliche		
	Stahlsorte	S235 ▼	Vorgabe
	Kennung		

Da die Beschreibung der Stahlparameter nach EC3 programmübergreifend identisch ist, wird auf die allgemeine Beschreibung der **Stahlsorten** verwiesen.

Geometrie

Das Programm 4H-EC3BL weist die Tragfähigkeit eines typisierten Querschnittsprofils oder auch nur eines Beulfelds nach.

Dazu sind entweder die Abmessungen des Beulfelds



oder das Trägerprofil einzugeben.

Die Parameter des Trägerprofils können dabei entweder über den pcae-eigenen *Profilmanager* in das Programm importiert werden oder als *typisiertes Stahlprofil* parametrisiert eingegeben werden.



Um ein Profil aus dem Angebot des Profilmanagers zu wählen, ist der grün unterlegte Pfeil zu betätigen.

Das externe Programm wird aufgerufen und ein Profil kann aktiviert werden. Bei Verlassen des Profilmanagers werden die benötigten Daten übernommen und der Profilname protokolliert.

Zur Definition eines parametrisierten Profils wird zunächst seine Klasse über eine Listbox festgelegt, anhand derer bestimmt wird, welche weiteren Parameter freigelegt werden.

Das Programm berechnet Träger mit Doppel-T-Profilen (I, H-, DIL-, S-, W-Profile), Rechteck- sowie Hohlkastenprofile und Flachstähle, wobei Hohlkasten und Flachstahl nur parametrisiert zur Verfügung stehen.

Andere Profilklassen sind in der Listbox farblich gekennzeichnet und können nicht verwendet werden.



Bei gewalzten Profilen werden die Ausrundungsradien zwischen Flansch und Steg geometrisch berücksichtigt, während geschweißte Blechprofile mit Schweißnähten zusammengefügt sind.

Diese Schweißnähte werden nicht nachgewiesen.

Das Beulfeld wird seitlich durch Quersteifen gehalten, die als als starre Auflagerung dienen.

Die Steifen können ebenso entweder aus dem Profilmanager ausgewählt oder parametrisiert eingegeben werden.

Als Quersteifen stehen Winkel-, U- bzw. C-, T- bzw. 1/2I-, Trapez-Profile und Flachstähle zur Verfügung, wobei Trapezprofil und Flachstahl nur parametrisiert eingegeben werden können.



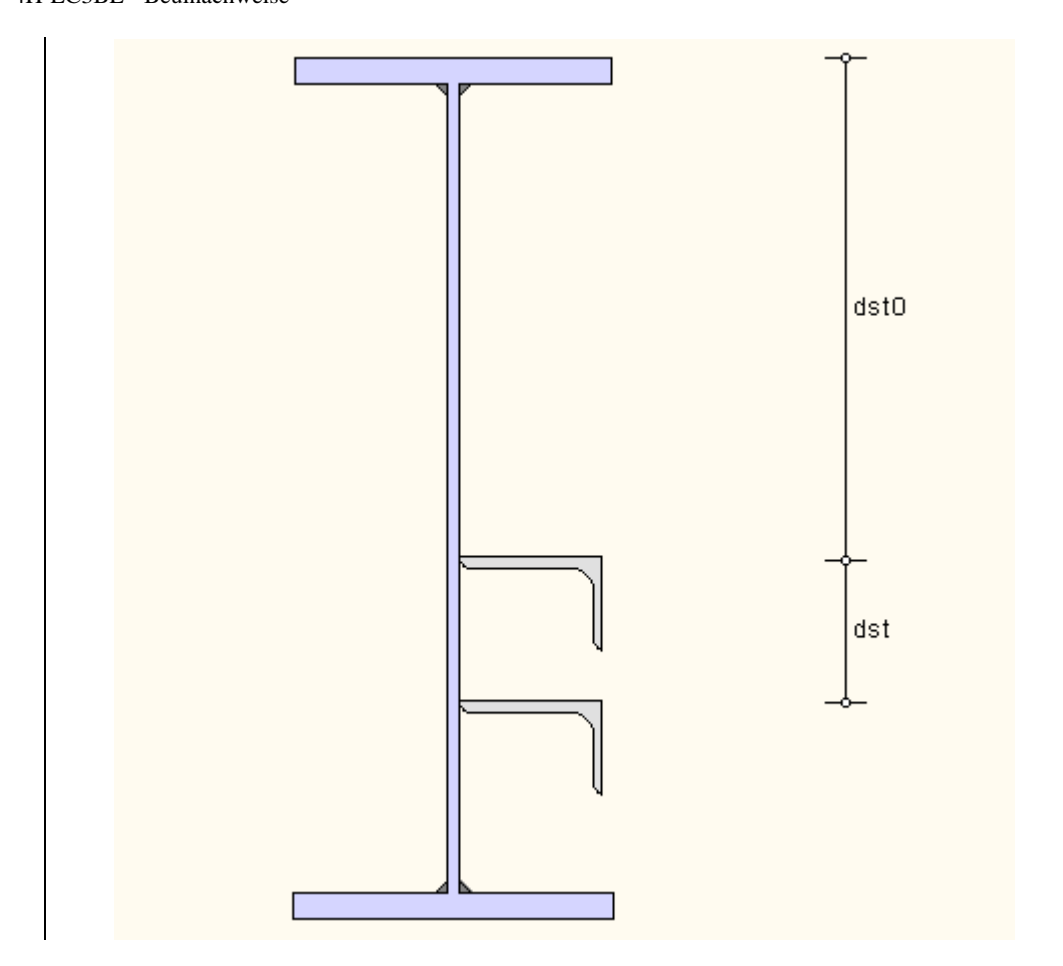
Das Beulfeld kann längs ausgesteift sein. Dazu können bis zu fünf Längssteifen mit äquidistantem Abstand voneinander möglichst in der Druckzone des Beulfelds angeordnet werden.

Zunächst ist die Anzahl an Steifen festzulegen, anschießend der Abstand der ersten Steife von Oberkante Träger bzw. vom oberen Blechrand sowie der Abstand der Steifen voneinander.

Es ist darauf zu achten, dass die Steifen sich nicht berühren bzw. überschneiden! Das Steifenprofil wird dann analog zu den Quersteifen definiert.



Zur optischen Kontrolle wird das ausgewählte Profil einschl. Längssteifen maßstäblich am Bildschirm angezeigt. Die Abstände der Längssteifen sind bezeichnet.



Rechenlaufsteuerung



im Register 2 befinden sich die Angaben zur Rechenlaufsteuerung.

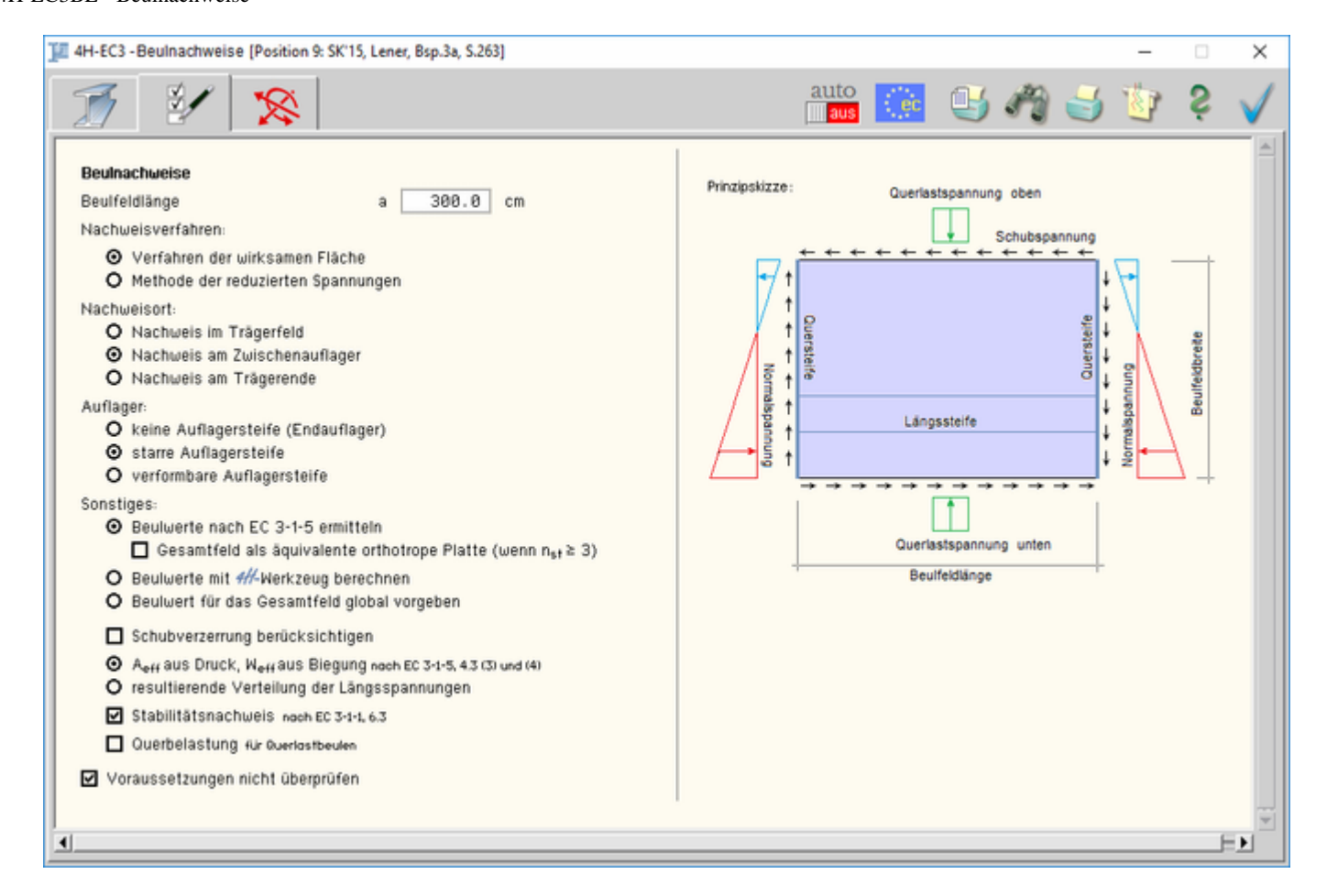


Bild vergrößern (4)

Beulnachweise

Der Programmablauf und die Bedeutungen der Einstellungen werden in Anlehnung an zwei Literaturbeispiele aus *Timmers, Lener et.al.: Stabilitätsnachweise nach EC 3-1-5 - Theorie und Beispiele, Stahlbaukalender 2015* erläutert.

Beispiel 3 - Platten-/Schubbeulen

System

Ein geschweißter Blechträger (parametrisiertes I-Profil, Schweißnähte irrelevant) wird durch eine Längssteife verstärkt.

Sämtliche Blechteile sind in einheitlicher Stahlgüte ausgeführt, die Materialsicherheitsbeiwerte entsprechen den normativen Vorgaben.

Es werden zwei Lastkombinationen untersucht, die It. Beispiel für Platten- und Schubbeulen (Lk 1) sowie M-N-V-Interaktion (Lk 2) nach dem Verfahren der wirksamen Querschnittsfläche maßgebend sind.

Die Beschreibung der Methode der reduzierten Spannungen erfolgt mit Lk 3.

Stahlsorte

Stahlgüte S 355

Materialsicherheitsbeiwerte

Beanspruchbarkeit von Querschnitten γM0 = 1.00

Beanspruchbarkeit von Bauteilen bei Stabilitätsversagen γ_{M1} = 1.10



Träger: Profilparameter (I-Profil):

Gesamthöhe h = 3080.0 mm, Stegdicke t_w = 15.0 mm Flanschbreite b_f = 800.0 mm, Flanschdicke t_f = 40.0 mm

Längssteifen: Anzahl n_{st} = 1 Profilparameter (Flachstahl):

Höhe h = 250.0 mm, Dicke t = 25.0 mm

Abstand der Steife von Oberkante Träger dst,0 = 2540.0 mm

Belastung

Schnittgrößen bezogen auf den versteiften Querschnitt:

Lk 1: Platten- + Schubbeulen (Kap. 5.1.1-4)

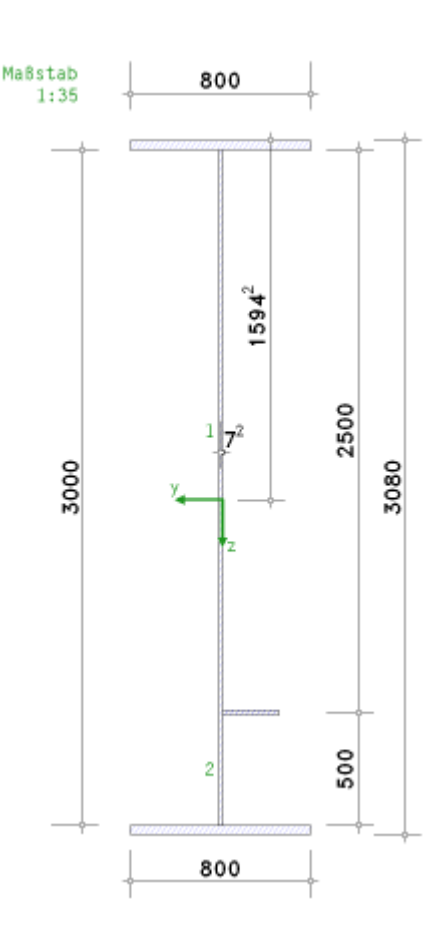
Ned = -4000.0 kN Med = -33760.0 kNm Ved = 3437.5 kN

Lk 2: M-N-V-Interaction (Kap. 5.1.5)

Ned = -4000.0 kN Med = -32150.0 kNm Ved = 3288.0 kN

Lk 3: Methode der reduz. Spann. (Kap. 10)

NEd = -4000.0 kN MEd = -32750.0 kNm VEd = 3290.0 kN



Rechenparameter

Das Beulfeld im Steg wird durch starre Quersteifen begrenzt, die die Beulfeldlänge festlegen. Die Quersteifen werden in diesem Beispiel nicht überprüft.

Die Beulnachweise können mit zwei verschiedenen Nachweisverfahren durchgeführt werden.

Je nach Schnittgrößenkombination wird *Plattenbeulen*, *Schubbeulen* und/oder *Querlastbeulen* sowie deren Interaktion untersucht.

In diesem Beispiel wird das *Verfahren der* wirksamen Fläche vorgestellt, Platten- und Schubbeulen sind maßgebend.

Sind Plattenbeulen mit Schubverzerrung, Schubbeulen und/oder Querlastbeulen zu berücksichtigen, ist der Nachweisort, d.h. die Lage des Beulfelds im Träger, zu bestimmen.

Für den Querlastnachweis am Trägerende ist der Abstand des Lasteinleitungsbereichs zum freien Ende anzugeben.

In diesem Beispiel soll der *Nachweis am* **Zwischenauflager** geführt werden.

Wird der Nachweis am Zwischenauflager geführt, ist für den Schubbeulnachweis die Aussteifung des Auflagers festzulegen.

In diesem Beispiel sind die Quersteifen gleichzeitig auch starre Auflagersteifen.

Sollen Schubverzerrungen beim Nachweis für Plattenbeulen berücksichtigt werden, ist die mittragende Trägerlänge als Abstand der Momentennullpunkte abzuschätzen.

In diesem Beispiel werden die Schubverzerrungen

Beulnachweise
Beulfeldlänge a 300.0 cm
Nachweisverfahren:
Verfahren der wirksamen Fläche Methode der reduzierten Spannungen
Nachweisort: O Nachweis im Trägerfeld O Nachweis am Zwischenauflager O Nachweis am Trägerende c 50.0 mm
Auflager:
 keine Auflagersteifen starre Auflagersteifen verformbare Auflagersteifen
Sonstiges:
 Beulwerte nach EC 3-1-5 ermitteln Gesamtfeld als äquivalente orthotrope Platte
Beulwerte mit ##-Werkzeug berechnen unter kombinierter Beanspruchung
O Beulwert für das Gesamtfeld global vorgeben Vergrößerungsfaktor α_{cr} 5.620 zum Erreichen der elastischen Verzweigungslast σ_{cr} = $\alpha_{cr}\sigma_{Ed}$
Schubverzerrung berücksichtigen mittragende Trägerlänge Le 1900.0 cm Abstand der Momentennullpunkte
 A_{eff} aus Druck, W_{eff} aus Biegung nach EC 3-1-5, 4.3 (3) und (4) resultierende Verteilung der Längsspannungen keine Iteration Spannungsumlagerung vernachlässigen
Stabilitätsnachweis nach EC 3-1-1, 6.3

vernachlässigt.

Die Beulwerte sind sowohl für unausgesteifte Einzelfelder als auch für das gesamte Beulfeld zu ermitteln.

Für unausgesteifte Beulfelder erfolgt die Berechnung nach EC 3-1-5 genau genug, für ein ausgesteiftes Gesamtfeld hingegen können die Beulwerte zwischen der Norm und spezialisierten Berechnungstools stark differieren.

Das Programm *4H*-EC3BL bietet an, die Beulwerte entweder nach EC 3-1-5 zu bestimmen oder mittels eines pcae-eigenen Programmbausteins zu berechnen.

Alternativ können die Beulwerte für die Einzelfelder nach EC 3-1-5 berechnet und für das Gesamtfeld global (d.h. für alle Lastkombinationen gültig) eingegeben werden.

Wird der Beulwert nach EC 3-1-5 berechnet und sind mehr als zwei Längssteifen vorgesehen, können diese verschmiert (entspr. einer äquivalenten orthotropen Platte) in die Berechnung des Gesamtfelds einbezogen werden. Im vorliegenden Beispiel werden die Beulwerte nach EC 3-1-5 berechnet.

Die folgenden Einstellungen betreffen nur das Plattenbeulen nach dem Verfahren der wirksamen Fläche.

Wird der Beulwert mit dem pcae-eigenen 4H-Werkzeug berechnet, kann festgelegt werden, ob eine kombinierte (Normal-, Schub- und Querlastspannung wirken gleichzeitig) oder je nach Beulfall eine separierte Beanspruchung (beim Plattenbeulen nur die Normal-, beim Schubbeulen nur die Schub-, beim Querlastbeulen nur die Querlastspannung) zur Ermittlung des Beulwerts herangezogen wird.

Die wirksamen Querschnittswerte können entweder getrennt nach den Lastkomponenten, d.h. die wirksame Fläche auf Grund der Normalkraft und das wirksame Widerstandsmoment auf Grund des Biegemoments, oder aus der resultierenden Verteilung der Längsspannungen aus gleichzeitiger Wirkung von Normalkraft und Biegemoment ermittelt werden.

Die resultierende Verteilung der Längsspannungen erfordert jedoch einen iterativen Berechnungsvorgang, um die Spannungsumlagerung hinreichend genau abzubilden.

Im vorliegenden Beispiel werden die effektiven Querschnittswerte getrennt nach den Lastkomponenten ermittelt.

Der Beulnachweis kann als Querschnittsnachweis mit dem Sicherheitsbeiwert γ_{M0} oder als Stabilitätsnachweis für Biegeknicken und Biegedrillknicken mit γ_{M1} geführt werden.

In diesem Beispiel ist ein Querschnittsnachweis gefordert.

Querlastbeulen ist nachzuweisen, wenn senkrecht zum Beulfeld eine lokal begrenzte Last eingeleitet wird.

Dies können eine oder zwei Einzellasten am Obergurt (z.B. Radlasten aus einer Kranbahn) oder eine Einzellast am Untergurt (z.B. eine Auflagerlast) des Trägers sein.



In diesem Beispiel wird Querlastbeulen nicht untersucht.

Die Voraussetzungen zur Anwendung der Verfahren sind zu überprüfen (kann unterdrückt werden).

☑ Voraussetzungen nicht überprüfen

In diesem Beispiel ist die Einhaltung der Voraussetzungen nicht relevant.

Berechnung

Zunächst wird überprüft, ob eine Schubverzerrung zu berücksichtigen ist.

In diesem Beispiel ist dies zwar nicht gefordert, der Rechenweg soll hier jedoch aufgezeigt werden.

Z.B. ergibt sich bei einer mittragenden Trägerlänge von Le = 10 m eine Verringerung der Flanschbreiten.

Diese Ersatzbreiten sind bei der weiteren Berechnung vorauszusetzen.

Im vorliegenden Beispiel werden keine Ersatzbreiten verwendet.

Schubverzerrung

```
Flansch oben = Flansch unten: b_0 = b_f/2 = 400.0 \text{ mm} \geq L_e/50 = 200.0 \text{ mm}: Schubverzerrung: \alpha_0 = (1 + A_{sl}/(b_0 \cdot t))^{1/2} = 1.000, \quad A_{sl} = 0.00 \text{ cm}^2 \Rightarrow \dots \kappa = \alpha_0 \cdot b_0/L_e = 0.040 für 0.02 < \kappa \leq 0.70: \beta_1 = 1/(1 + 6.4 \cdot \kappa^2) = 0.990, \\ \dots \beta_2 = 1/(1 + 6 \cdot (\kappa \cdot 1/(2500 \cdot \kappa) + 1.6 \cdot \kappa^2) = 0.837: \beta = \beta_2 = 0.837 Faktor \beta_{ult} = \beta^\kappa = 0.993, \quad \beta = 0.84 wirksame Breite beff = 2 \cdot \beta_{ult} \cdot b_0 = 794.3 \text{ mm} Ersatzbreiten aus Schubverzerrung bf0 = 794.3 mm, bfu = 794.3 mm
```

Die Querschnittswerte des Profils einschl. Steifen werden bestimmt, wobei bei geschweißten Profilen die Schweißnähte nicht zu berücksichtigen sind.

Zur Information werden die am äußeren Querschnittsrand wirkenden Spannungen protokolliert sowie die Querschnittsklasse des Gesamtquerschnitts aufgeführt.

Querschnittswerte

```
A = 1152.50 cm², z_e = 1594.2 mm, I_y = 18753552.18 cm⁴, y_e = 7.2 mm, I_z = 355050.53 cm⁴ 

Extremale Querschnittsspannungen σ_0 = -252.3 N/mm², σ_0 = 302.2 N/mm², τ = 76.4 N/mm² 

Querschnittsklasse Flansch oben: Querschnittsklasse 1 (überzogen) Flansch unten: Querschnittsklasse 3 für 8.14 < c/t = 9.81 < 11.20 Steg: Querschnittsklasse 4 für 37.50 < c/t = 200.00 Gesamt: Querschnittsklasse 4 ⇒ Beulnachweis erforderlich !!
```

Verfahren der wirksamen Querschnittsfläche

Plattenbeulen

Der Nachweis für Plattenbeulen wird anhand des ersten Lastkollektivs (s.o.) erläutert.

Der Berechnungsvorgang wird in den allgemeinen Erläuterungen beschrieben.

Nachweis getrennt nach den Lastkomponenten

Der Querschnitt wird zunächst mit der einwirkenden Druckkraft N_{Ed} belastet.

Plattenbeulen

```
Effektive Querschnittsfläche für NEd = 4000.0 kN, MEd = 0
Spannungen in den Gurtblechen σ<sub>o</sub> = 34.7 N/mm<sup>2</sup>, σ<sub>u</sub> = 34.7 N/mm<sup>2</sup>
```

In diesem Beispiel sind die Flansche nicht beulgefährdet (Q-Klasse 3). Die wirksame Breite der Flansche entspricht der Bruttobreite.

```
Flansch oben = Flansch unten:
Beulfeld: b = 392.5 mm, t = 40.0 mm, \sigma_1 = 34.7 N/mm², \sigma_2 = 34.7 N/mm²
Querschnittsklasse 3 für 8.14 < c/t = 9.81 < 11.20
keine Abminderung: \rho = 1
wirksame Breite b_{c,eff} = b = 392.5 mm
```

Sind die Flansche jedoch beulgefährdet (z.B. bei $t_f = 20$ mm) wird die wirksame Breite der Flansche infolge Plattenbeulens berechnet.

Der Beulwert wird bei dreiseitig gelagerten Beulfeldern unabhängig vom Eingabemodus stets nach EC 3-1-5 berechnet. Knickstabähnliches Verhalten ist bei dreiseitig gelagerten Beulfeldern stets ausgeschlossen.

```
Flansch oben = Flansch unten: Beulfeld: b = 392.5 mm, t = 20.0 mm, \sigma_1 = 47.7 N/mm², \sigma_2 = 47.7 N/mm² Querschnittsklasse 4 für 11.20 < c/t = 19.63 Plattenbeulen: einseitig gestütztes Blechfeld: Beulwert k_\sigma = 0.43, \psi = 1.000 kritische Beulspannung \sigma_{\text{cr,p}} = k_\sigma·\sigma_E = 212.6 N/mm² .... mit \sigma_E = \pi^2·E/(12·(1-\mu^2)) · (t/b')² = 492.8 N/mm², b' = 392.5 mm Beulschlankheitsgrad \lambda_p = (fy/\sigma_{\text{cr,p}})1/2 = 1.292 Abminderungsfaktor \rho = (\lambda_p-0.188)/\lambda_p² = 0.661 ≤ 1 für \lambda_p > 0.748 Interaktion zwischen plattenartigem und knickstabähnlichen Verhalten .....nicht erforderlich wirksame Breite aus Plattenbeulen bc,eff = \rho·b = 259.5 mm
```

Nun werden die Spannungen unter Berücksichtigung der wirksamen Flanschbreiten erneut ermittelt.

Der Steg wird durch die Längssteifen in Einzelbeulfelder aufgeteilt, deren Nummerierung von oben nach unten läuft.

Der Ablauf zur Berechnung der wirksamen Breiten entspricht demjenigen der Flansche.

Hier kann allerdings eine Interaktion zwischen plattenartigem und knickstabähnlichem Verhalten erfolgen, wenn die Beulfeldbreite b größer als die Beulfeldlänge a ist.

```
Stea:
  Spannungen am Blechrand σ<sub>0</sub> = 34.7 N/mm<sup>2</sup>, σ<sub>u</sub> = 34.7 N/mm<sup>2</sup>
  Beulfeld 1:
     Spannungen am Beulfeld σ<sub>0</sub> = 34.7 N/mm<sup>2</sup>, σ<sub>u</sub> = 34.7 N/mm<sup>2</sup>
     Beulfeld: b = 2487.5 \text{ mm}, t = 15.0 \text{ mm}, \sigma_1 = 34.7 \text{ N/mm}^2, \sigma_2 = 34.7 \text{ N/mm}^2
     Querschnittsklasse 4 für 109.29 < c/t = 165.83
     Plattenbeulen:
        zweiseitig gestütztes Blechfeld: Beulwert k_{\sigma} = 4.00, \psi = 1.000
        kritische Beulspannung \sigma_{cr,p} = k_{\sigma} \cdot \sigma_E = 27.6 \text{ N/mm}^2
            mit \sigma_E = \pi^2 \cdot E/(12 \cdot (1 - \mu^2)) \cdot (t/b')^2 = 6.9 \text{ N/mm}^2, b' = 2487.5 \text{ mm}
        Beulschlankheitsgrad \lambda_p = (f_y/\sigma_{cr,p})^{1/2} = 3.586
        Abminderungsfaktor \rho = (\lambda_p - 0.055 \cdot (3+\psi))/\lambda_p^2 = 0.262 \le 1
            für \lambda_p > 0.5 + (0.085 - 0.055 \cdot \psi)^{1/2} = 0.673
        Interaktion zwischen plattenartigem und knickstabähnlichen Verhalten
            nicht erforderlich
        wirksame Breite bc,eff = ρ·b = 651.1 mm
        ..... (be1 = 325.6 mm, be2 = 325.6 mm)
```

Für eine Beulfeldlänge von a = 2.000 mm < b = 2.487,5 mm ist demnach knickstabähnliches Verhalten zu untersuchen. Es ergibt sich jedoch keine weitere Abminderung.

```
Interaktion zwischen plattenartigem und knickstabähnlichen Verhalten:
  kritische Beulspannung \sigma_{cr,c} = \pi^2 \cdot E/(12 \cdot (1 - \mu^2)) \cdot (t/b')^2 = 10.7 \text{ N/mm}^2,
       b' = 2000.0 \text{ mm}
  Beulschlankheitsgrad \lambda_c = (f_y/\sigma_{cr,c})^{1/2} = 5.766
  Abminderungsfaktor \chi_c = 1/(\Phi + (\Phi^2 - \lambda^2)^{1/2}) = 0.029 \le 1 für \lambda_c > 0.2
        mit \Phi = 0.5 \cdot (1 + \alpha \cdot (\lambda - 0.2) + \lambda^2) = 17.710, \alpha = 0.21 für Knicklinie 'a'
  endgültiger Abminderungsfaktor \rho = (\rho - \chi_c) \cdot \xi \cdot (2 - \xi) + \chi_c = 0.262
        mit \xi = \sigma_{cr,p}/\sigma_{cr,c}-1 = 2.724 > 1 \implies \xi = 1
wirksame Breite bc,eff = ρ·b = 651.1 mm
..... (be1 = 325.6 mm, be2 = 325.6 mm)
```

Beulfeld 2 wird Q-Klasse 3 zugeordnet und erfährt damit keine Reduktion.

```
Reulfeld 2:
```

```
Spannungen am Beulfeld σ<sub>0</sub> = 34.7 N/mm<sup>2</sup>, σ<sub>u</sub> = 34.7 N/mm<sup>2</sup>
Beulfeld: b = 487.5 \text{ mm}, t = 15.0 \text{ mm}, \sigma_1 = 34.7 \text{ N/mm}^2, \sigma_2 = 34.7 \text{ N/mm}^2
Querschnittsklasse 3 für 30.92 < c/t = 32.50
keine Abminderung: \rho = 1
wirksame Breite b_{c,eff} = b = 487.5 \text{ mm} (b_{e1} = 243.8 \text{ mm}, b_{e2} = 243.8 \text{ mm}
```

Gesamtfeld, Steife 1:

```
Spannung in der Steife σsl = 34.7 N/mm<sup>2</sup>
Steifendicke in der Stegachse tw.sl = 25.0 mm, anteilige wirksame Breiten b1.e2 = 325.6 mm, b2.e1 = 243.8 mm
   EC 3-1-5, Anhang A.2.2 (Ersatzstab mit elastischer Bettung):
   mitwirkende Breite der Steife bal = 1512.5 mm, angrenzende Beulfelder b1 = 2500.0 mm, b2 = 500.0 mm
   kritische Beulspannung für a = 3000.0 mm < a_c = 4.33 \cdot ((|s| \cdot b_1^2 \cdot b_2^2)/(t^3 \cdot (b_1 + b_2)))^{1/4} = 8963.7 mm:
     \sigma_{\text{cr,p,sl}} = \pi^2 \cdot \text{E} \cdot \text{lsl} / (A_{\text{sl}} \cdot a^2) + \text{E} \cdot \text{t}^3 \cdot (b_1 + b_2) \cdot a^2 / (4 \cdot \pi^2 \cdot (1 \cdot \mu^2) \cdot A_{\text{sl}} \cdot b_1^2 \cdot b_2^2) = 958.8 \text{ N/mm}^2, \quad \text{lsl} = 11900.5 \text{ cm}^4, \quad \text{Asl} = 289.4 \text{ cm}^2
       \Rightarrow \sigma_{cr,p} = \sigma_{cr,p,sl} \cdot \sigma_1/\sigma_{sl} = 958.8 \text{ N/mm}^2, \quad \sigma_1 = 34.7 \text{ N/mm}^2, \quad \sigma_{sl} = 34.7 \text{ N/mm}^2
   Beulschlankheitsgrad \lambda_p = (\beta_A \cdot f_y/\sigma_{cr,p})^{1/2} = 0.440, \beta_A = A_{sl,eff}/A_{sl} = 0.524, A_{sl,eff} = 151.6 \text{ N/mm}^2
   Abminderungsfaktor \rho = 1 für \lambda_p < 0.5 + (0.085 - 0.055 \cdot \psi)^{1/2} = 0.673, \psi = 1.000
Interaktion zwischen plattenartigem und knickstabähnlichen Verhalten:
   mitwirkende Breite der Steife bsl = 1512.5 mm (s. Plattenbeulen)
   kritische Beulspannung \sigma_{cr,c,sl} = (\pi^2 \cdot E \cdot l_{sl})/(A_{sl} \cdot a^2) = 947.1 \text{ N/mm}^2, \quad l_{sl} = 11900.5 \text{ cm}^4, \quad A_{sl} = 289.4 \text{ cm}^2
       \Rightarrow \sigma_{cr,c} = \sigma_{cr,c,al} \cdot \sigma_1/\sigma_{al} = 947.1 \text{ N/mm}^2, \quad \sigma_1 = 34.7 \text{ N/mm}^2, \quad \sigma_{al} = 34.7 \text{ N/mm}^2
   Beulschlankheitsgrad \lambda_c = (\beta_A \cdot f_y/\sigma_{cr,c})^{1/2} = 0.443, \beta_A = A_{sl,eff}/A_{sl} = 0.524, A_{sl,eff} = 151.6 \text{ N/mm}^2
   Abminderungsfaktor \chi_c = 1/(\Phi + (\Phi^2 - \lambda^2)^{1/2}) = 0.844 \le 1 für \lambda_c > 0.2
    mit \Phi = 0.5 \cdot (1 + \alpha \cdot (\lambda - 0.2) + \lambda^2) = 0.676, \alpha = \alpha' + 0.09/(i/e) = 0.636, \alpha' = 0.49 für Knicklinie 'c',
     e = 103.9 \text{ mm}, i = (I_{sl}/A_{sl})^{1/2} = 64.1 \text{ mm}, I_{sl} = 11900.5 \text{ cm}^4, A_{sl} = 289.4 \text{ cm}^2
   endgültiger Abminderungsfaktor \rho = (\rho - \chi_c) \cdot \xi \cdot (2 - \xi) + \chi_c = 0.848 mit \xi = \sigma_{cr,p} / \sigma_{cr,c} - 1 = 0.012, 0 \le \xi \le 1
wirksame Breiten der angrenzenden Beulfelder b<sub>1,e2,eff</sub> = ρ·b<sub>1,e,eff</sub> = 275.9 mm, b<sub>2,e1,eff</sub> = ρ·b<sub>2,e,eff</sub> = 206.6 mm
wirksame Fläche der Steife Asl,eff = ρ·Ast = 52.97 cm<sup>2</sup>
```

Zur Untersuchung des Gesamtfeldbeulens werden bei ausgesteiften Beulfeldern die Bereiche um die Steifen herum untersucht, d.h. es wird Steife i mit den wirksamen Breiten $b_{i,e2}$ und $b_{i+1,e1}$ der angrenzenden Beulfelder b_i und b_{i+1} betrachtet.

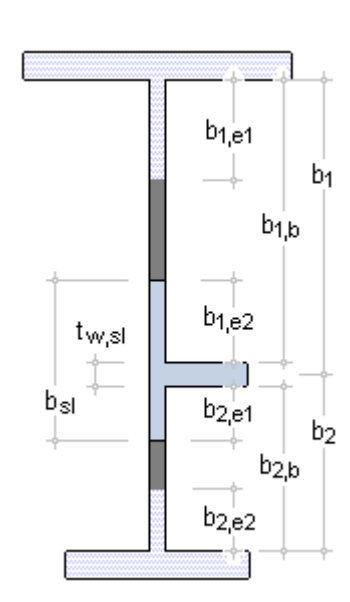
Die Querschnittswerte des Ersatzdruckstabs Asl und Isl ergeben sich also aus der mitwirkenden Breite der Steife $b_{sl} = b_{i,e2} + b_{i+1,e1} + t_{w,sl}$

Es werden Brutto-Querschnittswerte verwendet. Bei Steifen, deren angrenzende Beulfelder voll gedrückt sind (z.B. Druckflansch, $\psi = 1$), ergeben sich die mitwirkenden Breiten $b_{i,e2} = b_{i,b}/2$ und $b_{i+1,e1} = b_{i+1,b}/2$.

Die Extrapolation der kritischen Beulspannung der Steife auf den am meisten gedrückten Blechrand erfolgt über die einwirkenden Spannungen σ_1 und σ_{sl} .

Der Beulschlankheitsgrad wird um den Wirksamkeitsfaktor $\beta_A = A_{sl eff} / A_{sl}$ reduziert, wobei sich die wirksame Querschnittsfläche der Steife aus der Einzelbeulfeldberechnung ergibt (s. wirksame Breiten b_{i.e2} und b_{i+1.e1}).

Aus der Berechnung des endgültigen Abminderungsfaktors ρ ergeben sich die wirksamen Breiten der angrenzenden Beulfelder b_{i,e2,eff} und b_{i+1,e1,eff} sowie die wirksame Fläche der Steife A_{sl.eff} der Steife i.



Anschließend wird für offene Querschnitte der Nachweis der Drillknicksteifigkeit geführt.

Ebenso wird überprüft, ob die Voraussetzung, dass flanschinduziertes Stegbeulen ausgeschlossen ist, erfüllt ist.

Auf Grund der Querschnittsreduktion ergibt sich aus der Verschiebung des Schwerpunkts ein Zusatzmoment, das bei der Ermittlung des Widerstandsmoments zu berücksichtigen ist.

```
Traglasten bezogen auf den reduzierten Querschnitt:
Schwerpunktabstand von oben z<sub>s,eff</sub> = 1670.5 mm
Zusatzmoment aus Δz<sub>s</sub> = 76.3 mm: ΔM<sub>Ed</sub> = 305.22 kNm
Querschnittsfläche A<sub>eff</sub> = 854.49 cm<sup>2</sup>
Traglasten N<sub>Rd</sub> = (f<sub>y</sub>·A<sub>eff</sub>) / γ<sub>M0</sub> = 30334.34 kN
```

Nun wird der Querschnitt mit dem reinen einwirkenden Biegemoment M_{Ed} (ohne Zusatzmoment) belastet.

Treten Zugspannungen (σ < 0) in den Mittelachsen der Gurtbleche auf, ist das Blech (hier der obere Flansch) nicht beulgefährdet.

Plattenbeulen

```
Effektives Widerstandsmoment für MEd = 33760.0 kNm, NEd = 0 Spannungen in den Gurtblechen \sigma_0 = -283.4 N/mm², \sigma_0 = 263.9 N/mm² Flansch oben: Zugblech: b = 392.5 mm, \sigma_1 = -283.4 N/mm², \sigma_2 = -283.4 N/mm² wirksame Breite b_{t,eff} = b = 392.5 mm Gesamtbreite b = 2 \cdot b_{eff} + t_w = 800.0 mm Flansch unten: Beulfeld: b = 392.5 mm, t = 40.0 mm, \sigma_1 = 263.9 N/mm², \sigma_2 = 263.9 N/mm² Querschnittsklasse 3 für 8.14 < c/t = 9.81 < 11.20 keine Abminderung: \rho = 1 wirksame Breite b_{c,eff} = b = 392.5 mm Gesamtbreite b = 2 \cdot b_{eff} + t_w = 800.0 mm
```

Der weitere Berechnungsablauf entspricht demjenigen für reinen Druck.

Es ergibt sich das aufnehmbare Biegemoment, wobei das Widerstandsmoment bei einer Berechnung ohne Iteration auf die Mittelebene des Druckflanschs bezogen werden darf (EC 3-1-5, 4.2(2)).

```
Traglasten bezogen auf den reduzierten Querschnitt:

Schwerpunktabstand von oben z<sub>s,eff</sub> = 1579.7 mm

Flächenträgheitsmoment l<sub>y,eff</sub> = 18595061.34 cm<sup>4</sup>

Widerstandsmoment W<sub>y,eff</sub> = 125619.21 cm<sup>3</sup>

bezogen auf die Mittelebene des Druckflanschs

Traglasten MRd = (f<sub>y</sub>·Weff) / y<sub>M0</sub> = 44594.82 kNm
```

Der Nachweis wird mittels der M-N-Interaktion geführt.

```
Nachweis (M-N-Interaktion)
Einwirkendes Moment Med' = Med - \DeltaMed = 33454.78 kNm |Ned|/NRd + |Med'|/MRd = 0.132 + 0.750 = 0.882 < 1 ok.
```

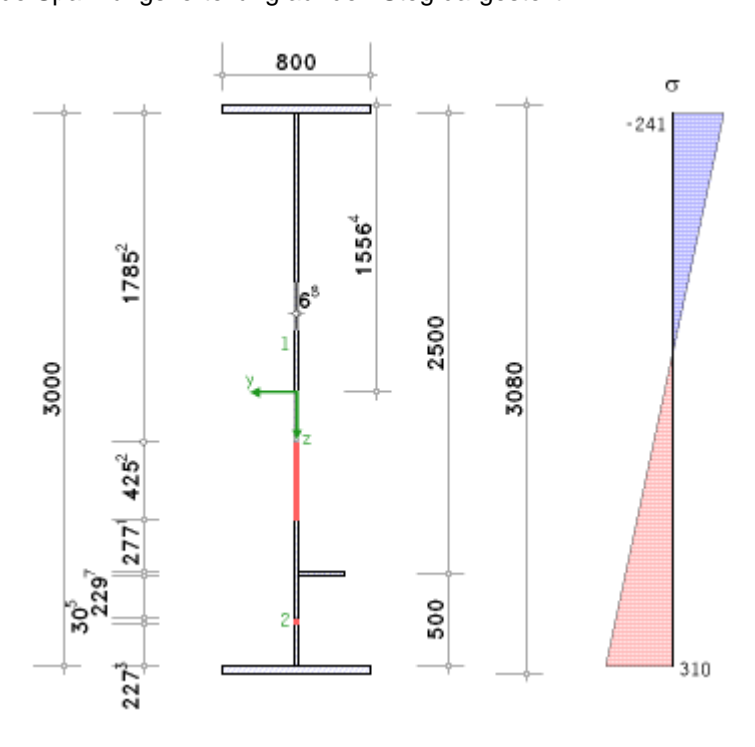
Es ergibt sich ein Unterschied zur Literaturvorlage, da in der Veröffentlichung das minimale auf den Steg bezogene Widerstandsmoment angesetzt wird. Dies entspricht jedoch nicht der Orientierung des Moments.

Nachweis mit resultierender Verteilung der Längsspannungen

Erfolgt jedoch die Berechnung aus gleichzeitiger Wirkung von N_{Ed} und M_{Ed} , erhält man nach drei Iterationsschritten dieselbe Ausnutzung (zufällig), wobei jedoch die effektiven Querschnittswerte durchaus verschieden sind.

```
Traglasten bezogen auf den reduzierten Querschnitt:
Schwerpunktabstand von oben z<sub>s,eff</sub> = 1556.4 mm
Differenzmoment aus Δz<sub>s</sub> = -37.8 mm: ΔME<sub>d</sub> = -151.22 kNn
Querschnittsfläche A<sub>eff</sub> = 1076.83 cm<sup>2</sup>
Flächenträgheitsmoment l<sub>y,eff</sub> = 18471446.28 cm<sup>4</sup>
Widerstandsmomente W<sub>y,eff,o</sub> = 120223.49 cm<sup>3</sup>
W<sub>y,eff,u</sub> = 122850.24 cm<sup>3</sup>
Traglasten NR<sub>d</sub> = (f<sub>y</sub>·A<sub>eff</sub>) / γ<sub>M0</sub> = 38227.50 kN
MR<sub>d,o</sub> = (f<sub>y</sub>·W<sub>eff,o</sub>) / γ<sub>M0</sub> = 42679.34 kNm
MR<sub>d,u</sub> = (f<sub>y</sub>·W<sub>eff,u</sub>) / γ<sub>M0</sub> = 43611.84 kNm
Nachweis
Einwirkendes Moment ME<sub>d</sub> = ME<sub>d</sub> - ΔME<sub>d</sub> = 33911.22 kNm
INE<sub>d</sub>|/NR<sub>d</sub> + IME<sub>d</sub><sup>2</sup>|/MR<sub>d,u</sub> = 0.105 + 0.778 = 0.882 < 1 ok.
```

Ist in der Ausdrucksteuerung der Umfang der Druckausgabe nicht minimal und sind die Erläuterungsskizzen angewählt, werden der reduzierte Querschnitt (die Fehlflächen sind rot gekennzeichnet und vermaßt) sowie die resultierende Spannungsverteilung auf den Steg dargestellt.



Schubbeulen

Der Nachweis gegen Schubbeulen wird anhand des ersten Lastkollektivs (s.o.) erläutert.

Der Berechnungsvorgang wird in den allgemeinen Erläuterungen beschrieben.

Die Einzelfelder und das Gesamtfeld werden untersucht.

Schubbeulen

```
Beulfeld 1:
```

```
Schubbeulen: h_w/t_w = 166.67 > 72 \cdot \epsilon/\eta = 48.82, h_w = 2500.0 mm, t_w = 15.0 mm \Rightarrow genauer Nachweis!!
EC 3-1-5, Anhang A.3 (Schubbeulwert):
Schubbeulwert für a/h_w = 1.20 > 1: k_t = 5.34 + 4/(a/h_w)^2 = 8.12, a = 3000.0 mm, h_w = 2500.0 mm
```

kritische Schubbeulspannung $\tau_{cr,p} = k_{\tau} \cdot \sigma_E = 55.5 \text{ N/mm}^2 \text{ mit } \sigma_E = \pi^2 \cdot E/(12 \cdot (1-\mu^2)) \cdot (t/b')^2 = 6.8 \text{ N/mm}^2, b' = h_W$ modifizierte Schlankheit $\lambda_w = 0.76 \cdot (f_y/\tau_{cr,p}) = 1.923$

Abminderungsfaktor $\chi_W = 1.37/(0.7 + \lambda_W) = 0.522$ für $\lambda_W \ge 1.08$ (starre Auflagersteife)

Beanspruchbarkeit V_{bw,Rd} = (χ_w·f_y·h_w·t_w) / (3^{1/2}·γ_{M1}) = 4379.87 kN

Bemessungswert der Beanspruchbarkeit V_{b,Rd} = V_{bw,Rd} = 4379.9 kN < lim V_{b,Rd} ⇒ V_{b,Rd} = 4379.9 kN

mit lim $V_{b,Rd} = 1 \cdot (\eta \cdot f_y \cdot h_w \cdot t_w)/(3^{1/2} \cdot y_{M1}) = 10061.64 \text{ kN}$

Beulfeld 2:

Schubbeulen: $h_w/t_w = 33.33 \le 72 \cdot \epsilon/\eta = 48.82$, $h_w = 500.0$ mm, $t_w = 15.0$ mm ok.

Zunächst wird überprüft, ob das Beulfeld schubbeulgefährdet ist. Ist ein genauer Nachweis erforderlich, wird der Schubwiderstand des Beulfelds (Stegs) bestimmt.

```
Schubbeulen: h_w/t_w = 200.00 > 31 \cdot \epsilon \cdot k_t^{1/2}/\eta = 85.14, k_t = 16.41, h_w = 3000.0 mm \Rightarrow genauer Nachweis!
wirksame Fläche der Flansche ohne durch angrenzende Plattenbauteile gestützte Querschnitsteile
 A_{f1} = 320.00 \text{ cm}^2 \text{ mit } b_{f1} = 800.0 \text{ mm}, A_{f2} = 320.00 \text{ cm}^2 \text{ mit } b_{f2} = 800.0 \text{ mm}
Beitrag der Flansche:
```

aufnehmbares Moment alleine der wirksamen Flächen der Flansche:

```
M_{f,Rd} = f_{N,f} \cdot M_{f,k} / \gamma_{M0} = 28454.4 \text{ kNm}
```

mit $M_{f,k} = min(A_{f1}, A_{f2}) \cdot (h_w + (t_{f1} + t_{f2})/2) \cdot f_y = 34534.4 \text{ kNm}$

NEd > 0: $f_{N,f} = 1 - NEd/((A_{f1} + A_{f2}) \cdot f_y/\gamma_{M0}) = 0.824$

Med ≥ Mf,Rd: Flansche voll ausgenutzt, Beanspruchbarkeit Vbf,Rd = 0

Bei der Betrachtung des Gesamtfelds darf bei Zweipunktquerschnitten (z.B. I-Profil) der Traganteil der Flansche berücksichtigt werden. Sind die Flansche durch die Biegenormalspannungen nicht voll ausgenutzt, dürfen sie die Tragwirkung des Stegs unterstützen.

Im vorliegenden Beispiel sind die Flansche voll ausgenutzt.

Nachfolgend wird gezeigt, wie die Beanspruchbarkeit der Flansche berechnet wird, wenn beispielsweise ein Biegemoment von nur 20.000 kNm wirkt.

```
\begin{aligned} &\text{MEd} = 20000.00 \text{ kNm} < \text{Mf}_{\text{r},\text{Rd}} = 28454.40 \text{ kNm}; \\ &\text{Flansch 1: } t_f = 40.0 \text{ mm}, \quad b_f = 800.0 \text{ mm} \le 2 \cdot 15 \cdot t_f \cdot \epsilon = 991.3 \text{ mm} \\ &\quad c = a \cdot (0.25 + (1.6 \cdot b_f \cdot t_f^2 \cdot f_y) / (t_w \cdot h_w^2 \cdot f_y)) = 795.5 \text{ mm} \\ &\text{Flansch 2: } t_f = 40.0 \text{ mm}, \quad b_f = 800.0 \text{ mm} \le 2 \cdot 15 \cdot t_f \cdot \epsilon = 991.3 \text{ mm} \\ &\quad c = a \cdot (0.25 + (1.6 \cdot b_f \cdot t_f^2 \cdot f_y) / (t_w \cdot h_w^2 \cdot f_y)) = 795.5 \text{ mm} \\ &\text{Beanspruchbarkeit V}_{bf,\text{Rd}} = (b_f \cdot t_f^2 \cdot f_y) / (c \cdot \gamma_{\text{M1}}) \cdot (1 \cdot (\text{MEd}/\text{Mf}_{\text{r},\text{Rd}})^2) = 262.73 \text{ kN} \end{aligned}
\begin{aligned} &\text{Beitrag des Stegs:} \\ &\text{EC 3-1-5, Anhang A.3 (Schubbeulwert):} \\ &\text{mitwirkende Breite der Steife bal = 391.1 mm, angrenzende Beulfelder b1 = 2500.0 mm, b2 = 500.0 mm} \\ &\text{Schubbeulwert für a/h_w = 1.00 < 3: } k_\tau = 4.1 + (6.3 + 0.18 \cdot l_{\text{sl}} / (h_w \cdot t_w^3)) / (a/h_w)^2 + 2.2 \cdot (l_{\text{sl}} / (h_w \cdot t_w^3))^{1/3} = 16.41, \\ &\quad a = 3000.0 \text{ mm, } h_w = 3000.0 \text{ mm, } l_{\text{sl}} = 8579.1 \text{ cm}^4 \\ &\text{kritische Schubbeulspannung } \tau_{\text{cr,p}} = k_\tau \cdot \sigma \epsilon = 77.9 \text{ N/mm}^2 \text{ mit } \sigma \epsilon = \pi^2 \cdot \text{E}/(12 \cdot (1 \cdot \mu^2)) \cdot (t/b^1)^2 = 4.7 \text{ N/mm}^2, b^1 = h_w \\ &\text{modifizierte Schlankheit } \lambda_w = 0.76 \cdot (f_y / \tau_{\text{cr,p}}) = 1.623 \\ &\text{Abminderungsfaktor } \gamma_w = 1.37 / (0.7 + \lambda_w) = 0.590 \text{ für } \lambda_w \ge 1.08 \text{ (starre Auflagersteife)} \\ &\text{Beanspruchbarkeit V_{bw,Rd}} = (\gamma_w \cdot f_y \cdot h_w \cdot t_w) / (3^{1/2} \cdot \gamma_{\text{M1}}) = 4945.45 \text{ kN} \end{aligned}
```

Die mitwirkende Breite wird unter Beachtung der angrenzenden Beulfeldbreiten bei offenen Steifen mit $b_{sl} = 2 \cdot 15 \cdot \epsilon \cdot t_p + t_{st}$, bei geschlossenen Steifen mit $b_{sl} = 4 \cdot 15 \cdot \epsilon \cdot t_p$ berechnet.

```
Bemessungswert der Beanspruchbarkeit V_{b,Rd} = V_{bw,Rd} + V_{bf,Rd} = 4945.4 \text{ kN} < \text{lim } V_{b,Rd} = 1 \cdot (\eta \cdot f_y \cdot h_w \cdot t_w)/(3^{1/2} \cdot \gamma_{M1}) = 10061.64 \text{ kN}
Traglasten V_{b,Rd,min} = 4379.9 \text{ kN}, V_{bw,Rd,min} = 4379.9 \text{ kN}
Nachweis: V_{Ed}/V_{b,Rd,min} = 0.785 < 1 \text{ ok}.
```

Der Bemessungswert der Beanspruchbarkeit für das Gesamtfeld ist größer als für Beulfeld 1, so dass sich die maßgebende Traglast ergibt zu V_{b.Rd.min} = V_{b.Rd.1}.

Interaktion zwischen Schub, Biegemoment und Normalkraft

Der Nachweis der M-N-V-Interaktion wird anhand des zweiten Lastkollektivs (s.o.) erläutert.

Der Berechnungsvorgang wird in den allgemeinen Erläuterungen beschrieben.

```
Interaktion zwischen Schub, Biegemonent und Normalkraft
```

```
Ausnutzung aus Schubbeulen des Stegs \eta_3 = V_{Ed}/V_{bw,Rd,min} = 0.751 > 0.5, V_{bw,Rd,min} = 4379.9 kN
Ausnutzung aus Plattenbeulen:
```

```
\begin{split} &M_{\text{Pl},\text{Rd}} = f_{\text{N,pl}} \cdot W_{\text{pl}} \cdot f_{\text{y}} / \gamma_{\text{M0}} = 48493.1 \text{ kNm}, \quad W_{\text{pl}} = 136600.3 \text{ cm}^3 \\ &\text{mit N}_{\text{pl},\text{Rd}} = A \cdot f_{\text{y}} / \gamma_{\text{M0}} = 40913.75 \text{ kN}, \quad N_{\text{c,lim}} = \min(0.25 \cdot N_{\text{pl},\text{Rd}}, 0.5 \cdot h_{\text{w}} \cdot t_{\text{w}} \cdot f_{\text{y}} / \gamma_{\text{M0}} = 7987.50 \text{ kN} \\ &N_{\text{Ed}} \leq N_{\text{c,lim}} : \quad f_{\text{N,pl}} = 1 \\ &M_{\text{f,Rd}} = f_{\text{N,f}} \cdot M_{\text{f,k}} / \gamma_{\text{M0}} = 28454.4 \text{ kNm} \\ &\text{mit M}_{\text{f,k}} = \min(A_{\text{f1}}, A_{\text{f2}}) \cdot (h_{\text{w}} + (t_{\text{f1}} + t_{\text{f2}}) / 2) \cdot f_{\text{y}} = 34534.4 \text{ kNm} \\ &N_{\text{Ed}} > 0 : \quad f_{\text{N,f}} = 1 - N_{\text{Ed}} / ((A_{\text{f1}} + A_{\text{f2}}) \cdot f_{\text{y}} / \gamma_{\text{M0}}) = 0.824 \\ &Ausnutzung \ aus \ Plattenbeulen \ \eta_1 = M_{\text{Ed}} / M_{\text{pl,Rd}} = 0.663 \ > \ \eta_1, lim = M_{\text{f,Rd}} / M_{\text{pl,Rd}} = 0.587 \\ &Nachweis : \ \eta_1 + (1 - \eta_1, lim) \cdot (2 \cdot \eta_3 - 1)^2 = 0.767 \ < 1 \ \text{ok}. \end{split}
```

Zunächst wird die nur auf den Steg bezogene Tragfähigkeit aus Schubbeulen η_3 berechnet. Ist diese > 0.5, muss die gleichzeitige Wirkung von Schub, Biegemoment und Normalkraft berücksichtigt werden.

Das plastische Widerstandsmoment wird mit der effektiven Querschnittsfläche der Flansche und der vollen Querschnittsfläche des Stegs ermittelt.

Methode der reduzierten Spannungen

Der Nachweis wird anhand des dritten Lastkollektivs (s.o.) erläutert.

Der Berechnungsvorgang wird in den allgemeinen Erläuterungen beschrieben.

Hier soll - in Ergänzung zum o.a. Beispiel - der Berechnungsablauf dargestellt werden, wenn Schubverzerrung zu berücksichtigen ist.

Für eine mittragende Trägerlänge von 10 m ergibt sich analog:

```
Schubverzerrung Flansch oben = Flansch unten: b_0 = b_f/2 = 400.0 \text{ mm} \geq L_e/50 = 200.0 \text{ mm}: \\ \text{Schubverzerrung: } \alpha_0 = (1 + A_{sl}/(b_0 \cdot t))^{1/2} = 1.000, \ A_{sl} = 0.00 \text{ cm}^2 \Rightarrow \\ \dots \kappa = \alpha_0 \cdot b_0/L_e = 0.040 \\ \text{für } 0.02 < \kappa \leq 0.70: \ \beta_1 = 1/(1 + 6.4 \cdot \kappa^2) = 0.990, \\ \dots \beta_2 = 1/(1 + 6 \cdot (\kappa \cdot 1/(2500 \cdot \kappa) + 1.6 \cdot \kappa^2) = 0.837: \ \beta = \beta_2 = 0.837 \\ \text{Faktor } \beta_{ult} = \beta^\kappa = 0.993, \ \beta = 0.84 \\ \text{wirksame Breite beff} = 2 \cdot \beta_{ult} \cdot b_0 = 794.3 \text{ mm} \\ \text{Ersatzbreiten aus Schubverzerrung bf0} = 794.3 \text{ mm}, \ b_{fu} = 794.3 \text{ mm}
```

Schubverzerrung ist sowohl für den Zug- als auch den Druckflansch zu berechnen und liefert wirksame Breiten, die beim Nachweis der Beulsicherheit zu Grunde zu legen sind.

Aus Kompatibilitätsgründen wird im Folgenden nicht mit Ersatzbreiten gerechnet.

Da die Beulwerte mit dem pcae-eigenen 4H-Werkzeug ermittelt werden und bei der **Methode der reduzierten Spannungen** grundsätzlich eine kombinierte Beanspruchung vorliegt, können die Beulwerte vorab berechnet werden.

```
Beulwerte (4H-Werkzeug)
Gesamtfeld: \alpha_{cr} = 0.817
Einzelfelder: \alpha_{cr,1} = 0.619, \alpha_{cr,2} = 2.660
```

Der Beulnachweis wird für die Flansche und den Steg getrennt geführt, da das schwächste Bauteil die Gesamttragfähigkeit bestimmt.

Für den gedrückten Flansch werden die Laststeigerungsfaktoren für Spannungen und Stabilität n. EC 3-1-5 berechnet und der Nachweis geführt. Schubspannungen werden nicht angesetzt.

```
Reduzierte Spannungen
Spannungen in den Gurtblechen σ<sub>0</sub> = -240.2 N/mm<sup>2</sup>, σ<sub>u</sub> = 290.7 N/mm<sup>2</sup>
Flansch oben:
   Beulspannungen \sigma_{Ed} \leq 0 \Rightarrow Nachweis nicht erforderlich
Flansch unten:
   Beulspannungen σEd = σEd' = 290.7 N/mm<sup>2</sup>
   Laststeigerungsfaktor für Spannungen \alpha_{ult} = 1 / ((\sigma_{Ed}/f_y)^2)^{1/2} = 1.221
   einseitig gestütztes Blechfeld: Beulwert k_{\sigma} = 0.43, \psi = 1.000
   kritische Beulspannung \sigma_{cr,p} = k_{\sigma} \sigma_E = 850.3 \text{ N/mm}^2
    mit \sigma_E = \pi^2 \cdot E/(12 \cdot (1 - \mu^2)) \cdot (t/b')^2 = 1971.2 \text{ N/mm}^2, b' = 392.5 \text{ mm}
   Laststeigerungsfaktor für Stabilität \alpha_{cr} = 1 / ((1+\psi)/(4\cdot\alpha_{cr,x})+...
     ... +(((1+\psi)/(4-\alpha_{cr,x}))<sup>2</sup>+(1-\psi)/(2-\alpha_{cr,x}<sup>2</sup>)+1/\alpha_{cr,z}<sup>2</sup>)<sup>1/2</sup>) = 2.925
     mit \alpha_{cr,x} = \sigma_{cr,p}/\sigma_{Ed}' = 2.925, \alpha_{cr,\tau} = 0
   bezogener Schlankheitsgrad \lambda_p = \lambda_c = \lambda_w = (\alpha_{ult}/\alpha_{cr})^{1/2} = 0.646
      Abminderungsfaktor \rho = 1 für \lambda_p < 0.748, \psi = 1.000
   Grenzbeulspannung ond = p·fy/yM1 = 322.7 N/mm2
   Nachweis: \sigma_{Ed}/\sigma_{Rd} = 0.901 < 1 ok.
Steg:
   Spannungen am Blechrand \sigma_0 = -236.7 \text{ N/mm}^2, \sigma_0 = 287.2 \text{ N/mm}^2, \tau = 73.1 \text{ N/mm}^2
   Beulfeld 1:
      Spannungen am Beulfeld \sigma_0 = -236.7 \text{ N/mm}^2, \sigma_0 = 199.9 \text{ N/mm}^2, \tau = 73.1 \text{ N/mm}^2
      Beulspannungen σEd = -236.7 N/mm<sup>2</sup>, σEd = 236.7 N/mm<sup>2</sup>, τEd = 73.1 N/mm<sup>2</sup>
      Laststeigerungsfaktor für Spannungen \alpha_{ult} = 1 / ((\sigma_{Ed}/f_v)^2 + 3 \cdot (\tau_{Ed}/f_v)^2)^{1/2} = 1.322
      Laststeigerungsfaktor für Stabilität acr = 0.619 (4H-Werkzeug)
      bezogener Schlankheitsgrad \lambda_p = \lambda_c = \lambda_w = (\alpha_{ult}/\alpha_{cr})^{1/2} = 1.462
      Plattenbeulen:
         Abminderungsfaktor \rho = (\lambda_p - 0.055 \cdot (3 + \psi))/\lambda_p^2 = 0.637 \le 1 für \lambda_p > 0.5 + (0.085 - 0.055 \cdot \psi)^{1/2} = 0.887,
      Schubbeulen:
                                                                                                                                             \psi = -1.184
         Abminderungsfaktor \chi_W = 1.37/(0.7 + \lambda_W) = 0.634 für \lambda_W \ge 1.08 (starre Auflagersteife)
      Grenzbeulspannungen \sigma_{Rd} = \rho \cdot f_y/\gamma_{M1} = 205.7 \text{ N/mm}^2, \tau_{Rd} = \gamma_W \cdot f_y/\gamma_{M1} = 204.5 \text{ N/mm}^2
      Nachweis: ((\sigma_{Ed}/\sigma_{Rd})^2 + 3 \cdot (\tau_{Ed}/\tau_{Rd})^2)^{1/2} = 1.708^{1/2} = 1.307 > 1 nicht ok. !!
```

Der Steg erfährt Spannungen aus Normalkraft, Biegemoment, Querkraft und ggf. Querlast.

Der Laststeigerungsfaktor für Stabilität wird mit Hilfe des *4H*-Werkzeugs für ein unausgesteiftes Beulfeld ermittelt. Für Beulfeld 2 erfolgt der Berechnungsablauf analog.

```
Gesamtfeld:
```

```
Spannungen am Beulfeld \sigma_0 = -236.7 \text{ N/mm}^2, \sigma_0 = 287.2 \text{ N/mm}^2, \tau = 73.1 \text{ N/mm}^2
maßgebende Steife 1 mit b<sub>1</sub> = 2500.0 mm, b<sub>2</sub> = 500.0 /mm
Beulspannungen oed = oed = 287.2 N/mm2, ted = 73.1 N/mm2
Laststeigerungsfaktor für Spannungen \alpha_{ult} = 1 / ((\sigma_{Ed}/f_y)^2 + 3 \cdot (\tau_{Ed}/f_y)^2)^{1/2} = 1.131
Laststeigerungsfaktor für Stabilität αcr = 0.817 (4H-Werkzeug)
bezogener Schlankheitsgrad \lambda_p = \lambda_c = \lambda_w = (\alpha_{ult}/\alpha_{cr})^{1/2} = 1.177
Plattenbeulen:
   Abminderungsfaktor \rho = (\lambda_p - 0.055 \cdot (3 + \psi))/\lambda_p^2 = 0.763 \le 1 für \lambda_p > 0.5 + (0.085 - 0.055 \cdot \psi)^{1/2} = 0.861,
Interaktion zwischen plattenartigem und knickstabähnlichen Verhalten:
                                                                                                                                                \psi = -0.824
   kritische Beulspannung σ<sub>cr,p</sub> = α<sub>cr</sub>·σ<sub>Ed</sub>′ = 234.6 N/mm<sup>2</sup>
   mitwirkende Breite der Steife bal = 750.5 mm
   kritische Beulspannung \sigma_{cr,c,sl} = (\pi^2 \cdot E \cdot l_{sl})/(A_{sl} \cdot a^2) = 1359.1 \text{ N/mm}^2, l_{sl} = 10331.7 \text{ cm}^4, A_{sl} = 175.1 \text{ cm}^2
      \Rightarrow \sigma_{cr,c} = \sigma_{cr,c,sl} \cdot \sigma_1/\sigma_{sl} = 1952.8 \text{ N/mm}^2, \quad \sigma_1 = 287.2 \text{ N/mm}^2, \quad \sigma_{sl} = 199.9 \text{ N/mm}^2
   Abminderungsfaktor \chi_c = 1/(\Phi + (\Phi^2 - \lambda^2)^{1/2}) = 0.420 \le 1 für \lambda_c > 0.2
    mit \Phi = 0.5 \cdot (1 + \alpha \cdot (\lambda \cdot 0.2) + \lambda^2) = 1.480, \alpha = \alpha' + 0.09/(i/e) = 0.590, \alpha' = 0.49 für Knicklinie 'c',
    e = 85.2 \text{ mm}, \ i = (I_{si}/A_{si})^{1/2} = 76.8 \text{ mm}, \ I_{si} = 10331.7 \text{ cm}^4, \ A_{si} = 175.1 \text{ cm}^2
   endgültiger Abminderungsfaktor \rho = (\rho - \chi_c) \cdot \xi \cdot (2 - \xi) + \chi_c = 0.420 mit \xi = \sigma_{cr,p}/\sigma_{cr,c} - 1 = -0.880 < 0 \implies \xi = 0
Schubbeulen:
   Abminderungsfaktor \gamma_W = 1.37/(0.7 + \lambda_W) = 0.730 für \lambda_W \ge 1.08 (starre Auflagersteife)
Grenzbeulspannungen \sigma_{Rd} = \rho \cdot f_y/y_{M1} = 135.7 \text{ N/mm}^2, \tau_{Rd} = \chi_W \cdot f_y/y_{M1} = 235.6 \text{ N/mm}^2
Nachweis: ((\sigma Ed/\sigma Rd)^2 + 3 \cdot (\tau Ed/\tau Rd)^2)^{1/2} = 4.770^{1/2} = 2.184 > 1 nicht ok. !!
```

Der Nachweis für das Gesamtfeld wird an der maßgebenden dem Druckrand am nächsten gelegenen Steife geführt.

Der Laststeigerungsfaktor wird mit Hilfe des 4H-Werkzeugs für ein ausgesteiftes Beulfeld ermittelt.

Der gleiche Wert ergibt sich auch unter Anwendung des Programms EBPlate, Centre Technique Industriel de la Construction Metallique (CTICM), www.cticm.com.

Der in der Literatur angegebene Wert kann nicht nachvollzogen werden.

Die Berechnung der mitwirkenden Breite der Steife, die bei der Interaktion zwischen plattenartigem und knickstabähnlichem Verhalten herangezogen wird, erfolgt analog dem Verfahren der wirksamen Fläche, Gesamtfeldbeulen (s.o.).

Der Nachweis des Gesamtfelds führt zur höchsten Ausnutzung; das Gesamtfeld ist damit ausschlaggebend für die Tragfähigkeit des Querschnitts.

Die Literaturquelle hingegen weist auf Grund des hohen Laststeigerungsfaktors für das Gesamtfeld das große Einzelbeulfeld als maßgebend aus.

Anschließend wird für offene Querschnitte der Nachweis der Drillknicksteifigkeit für die maßgebende Steife geführt. Ebenso wird überprüft, ob die Voraussetzung, dass flanschinduziertes Stegbeulen ausgeschlossen ist, erfüllt ist.

Beispiel 4 - Querlastbeulen

System

Ein einzelnes Feld wird gegenüber Querbelastung aus Auflagerung bemessen.

Es handelt sich um einen geschweißten Blechträger (parametrisiertes I-Profil), der durch eine Längssteife verstärkt ist.

Sämtliche Blechteile sind in einheitlicher Stahlgüte ausgeführt, die Materialsicherheitsbeiwerte entsprechen den normativen Vorgaben.

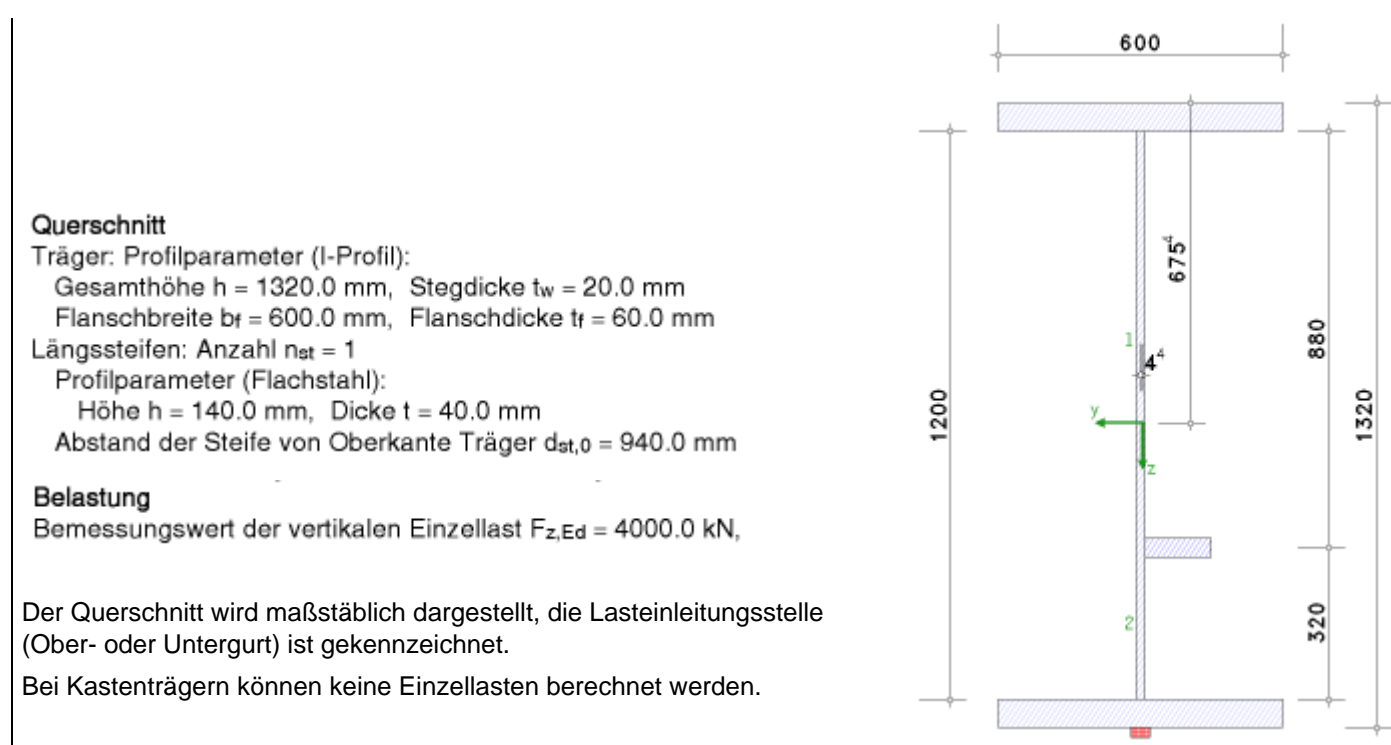
Stahlsorte

Stahlgüte S 355

Materialsicherheitsbeiwerte

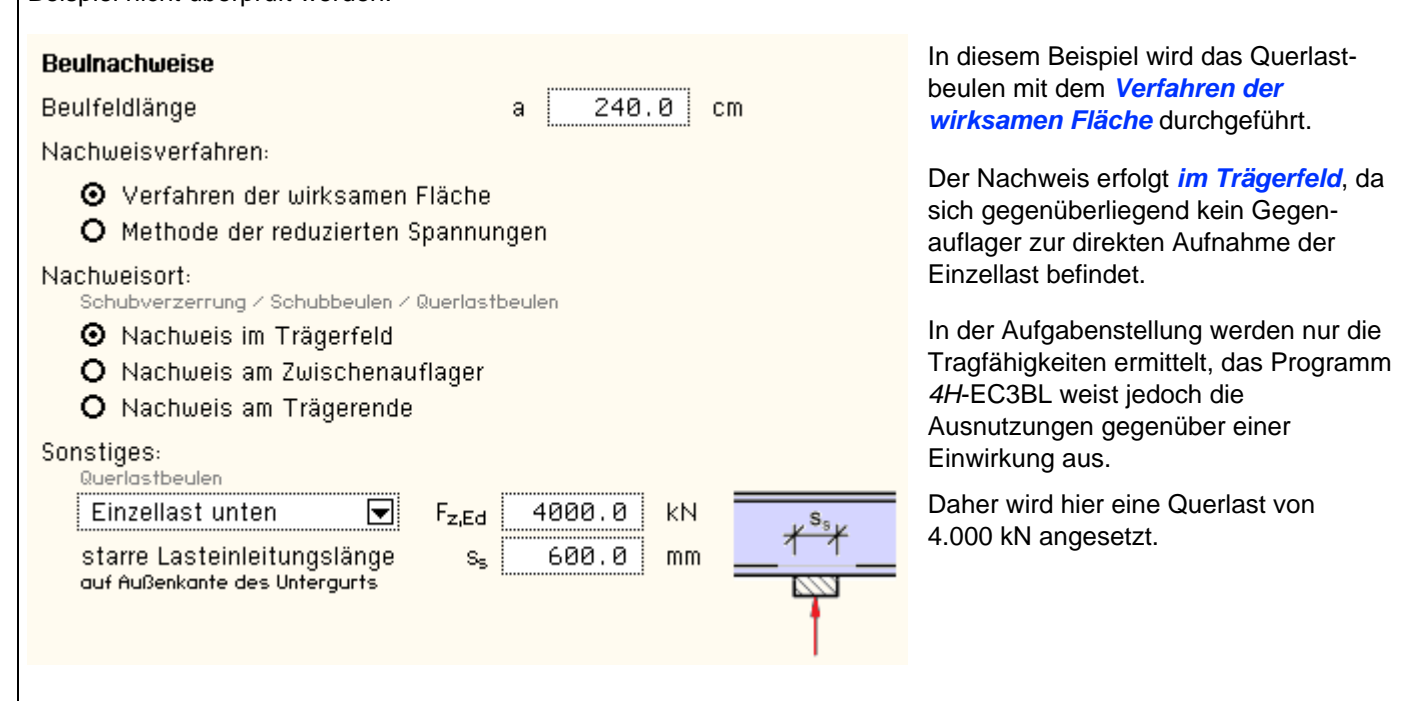
Beanspruchbarkeit von Querschnitten γм0 = 1.00

Beanspruchbarkeit von Bauteilen bei Stabilitätsversagen ym1 = 1.10



Rechenparameter

Das Beulfeld im Steg wird durch starre Quersteifen begrenzt, die die Beulfeldlänge festlegen und in diesem Beispiel nicht überprüft werden.



Berechnung: Verfahren der wirksamen Querschnittsfläche - Querlastbeulen

Querlastbeulen wird für das maßgebende Einzelfeld und das Gesamtfeld im Steg untersucht. Der Berechnungsvorgang wird in den **allgemeinen Erläuterungen** beschrieben.

Querlastbeulen

```
Lasteinleitungslänge der Querlast auf dem Beulfeld leff = s_s + 2 \cdot t_{fu} = 720.0 mm Einzelfeld 2:

Beulfeld a = 2400.0 mm, t_w = 300.0 mm, t_w = 20.0 mm

Beulwert k_F = 6.0 + 2 \cdot (h_w/a)^2 = 6.03 (Typ (a))

kritische Beullast F_{cr} = k_F \cdot \sigma_E \cdot t_w \cdot h_w = 30526.2 kN, \sigma_E = \pi^2 \cdot E/(12 \cdot (1 - \mu^2)) \cdot (t/b^2)^2 = 843.6 N/mm², b^2 = 300.0 mm wirksame Lastausbreitungslänge l_y = s_s + 2 \cdot t_F \cdot (1 + m_1^{1/2}) = 1377.3 mm, m_1 = b_f / t_w = 30.00 Fließlast F_y = f_y \cdot t_w \cdot l_y = 9778.6 kN

Schlankheitsgrad \lambda_F = (F_y / F_{cr})^{1/2} = 0.566

Abminderungsfaktor \chi_F = 0.5/\lambda_F = 0.883 wirksame Beullänge Leff = \chi_F \cdot l_y = 1216.7 mm

Beulwiderstand F_z, R_d = f_y \cdot L_{eff} \cdot t_w / \gamma_{M1} = 7853.29 kN

Nachweis

F_z \cdot E_f / F_z \cdot R_d = 0.509 < 1 ok.
```

Da der Lastangriff unten erfolgt, ist das belastete Einzelfeld 2 nachzuweisen.

Anschließend wird das Gesamtfeld mit der am meisten belasteten Längssteife untersucht.

Der Beulwert des unversteiften Beulfelds wird um den Anteil der Längssteife erhöht.

```
Gesamtfeld:
```

```
Beulfeld a = 2400.0 mm, h_W = 1200.0 mm, t_W = 20.0 mm
Beulwert k_F = 6.0 + 2 \cdot (h_W/a)^2 = 6.50 (Typ (a))
mitwirkende Breite der Steife b_{sl} = 528.2 mm, angrenzende Beulfelder b_1 = 300.0 mm, b_2 = 860.0 mm
Steifenanteil k_{F,sl} = (5.44 \cdot b_1/a \cdot 0.21) \cdot \gamma_s^{1/2} = 2.87, \gamma_s = \gamma_{s,1} = 37.38
wobei \gamma_{s,1} = 10.9 \cdot l_{sl,1} / (h_W \cdot t_W^3) = 37.38 < \gamma_{s,2} = 13 \cdot (a/h_W)^3 + 210 \cdot (0.3 \cdot b_1/a) = 140.75, l_{sl,1} = 3292.2 cm<sup>4</sup>
Beulwert mit Steifenanteil k_F = 6.50 + 2.87 = 9.37
```

Das Trägheitsmoment der Steife wird unter Berücksichtigung der mitwirkenden Plattenbreite bestimmt.

In der Literaturquelle wird das Trägheitsmoment der Längssteife I_{sl,1} für die horizontale Achse berechnet, es ist jedoch die vertikale Achse maßgebend (analog Querkraftbeulen).

Der nationale Anhang für Deutschland empfiehlt, zur Berechnung der kritischen Beullast den Beulwert mit Steifenanteil wie folgt anzupassen

```
\begin{array}{l} k_{F,1} = k_F = 9.37 \\ k_{F,2} = (0.8 \cdot (s_a + 2 \cdot t_f)/a + 0.6) \cdot (a/b_1)^{0.6 \cdot (s_a + 2 \cdot t_f)/a + 0.5} = 3.45 \\ F_{cr,1} = k_{F,1} \cdot \sigma_{E,1} \cdot t_w \cdot h_w = 11860.6 \ kN, \ \ \sigma_{E,1} = \pi^2 \cdot E/(12 \cdot (1 - \mu^2)) \cdot (t/b')^2 = 52.7 \ N/mm^2, \ \ b' = h_w \\ F_{cr,2} = k_{F,2} \cdot \sigma_{E,1} \cdot t_w \cdot b_1 = 17484.2 \ kN, \ \ \sigma_{E,2} = \pi^2 \cdot E/(12 \cdot (1 - \mu^2)) \cdot (t/b')^2 = 843.6 \ N/mm^2, \ \ b' = b_1 \\ F_{cr} = F_{cr,1} \cdot F_{cr,2} / \left(F_{cr,1} + F_{cr,2}\right) = 7066.8 \ kN \\ Beulwert \ k_F = F_{cr}/(\sigma_E \cdot t_w \cdot h_w) = 5.58, \ \ \sigma_E = \sigma_{E,1} \end{array}
```

In der Literaturquelle wird der Beulwert nicht nach den Vorgaben des nationalen Anhangs für Deutschland angepasst. Dadurch ergibt sich eine wesentlich geringere kritische Beullast.

Die Berechnung des Abminderungsfaktors erfolgt ebenfalls nach dem nationalen Anhang für Deutschland

```
kritische Beullast F_{cr}=k_F\cdot\sigma e\cdot t_W\cdot h_w=7068.0~kN,~\sigma e=\sigma e_{i,1} wirksame Lastausbreitungslänge I_y=s_e+2\cdot t_f\cdot (1+m_1^{1/2})=1377.3~mm,~m_1=b_f/t_w=30.00 Fließlast F_y=f_y\cdot t_W\cdot I_y=9778.6~kN Schlankheitsgrad \lambda_F=(F_y/F_{cr})^{1/2}=1.176 Abminderungsfaktor \chi_F=1/(\phi_P+(\phi_P^2-\lambda_F)^{1/2})=0.696~mit~\phi_P=(1+\alpha_P\cdot (\lambda_F-\lambda_{P0})+\lambda_F)/2=1.13,~\alpha_P=0.21,~\lambda_{P0}=0.8 wirksame Beullänge L_{eff}=\chi_F\cdot I_y=958.9~mm Beulwiderstand F_{z,Rd}=f_y\cdot L_{eff}\cdot t_W/\gamma_{M1}=6189.20~kN Nachweis F_{z,Ed}/F_{z,Rd}=0.646<<1~ok.
```

Die Methode der reduzierten Spannungen ist konzipiert worden für die Anwendung von Software zur Berechnung der Beulwerte. Bei der Handrechnung nach EC 3-1-5 ergibt sich eine hohe Ausnutzung

```
Reduzierte Spannungen
Steg:
  Spannungen am Blechrand \sigma_0 = 0.0 \text{ N/mm}^2, \sigma_0 = 0.0 \text{ N/mm}^2, \sigma_{zu} = 277.8 \text{ N/mm}^2
  Gesamtfeld:
     maßgebende Steife 1 mit b<sub>1</sub> = 320.0 mm, b<sub>2</sub> = 880.0 mm, \sigma_{sl} = 0.0 N/mm<sup>2</sup>
     Beulspannungen oz, Ed = 277.8 N/mm<sup>2</sup>
     Laststeigerungsfaktor für Spannungen \alpha_{ult} = 1 / ((\sigma_{z,Ed}/f_y)^2)^{1/2} = 1.278
     Beulwert k_F = 6.0 + 2 \cdot (h_w/a)^2 = 6.50 (Typ (a))
     mitwirkende Breite der Steife bal = 528.2 mm, angrenzende Beulfelder b1 = 320.0 mm, b2 = 880.0 mm
     Steifenanteil kF,si = (5.44 \cdot b_1/a - 0.21) \cdot \gamma_5^{1/2} = 3.15, \gamma_5 = \gamma_5, 1 = 37.45
       wobei \gamma_{s,1} = 10.9 \cdot l_{sl,1} / (h_W \cdot t_W^3) = 37.45 < \gamma_{s,2} = 13 \cdot (a/h_W)^3 + 210 \cdot (0.3 \cdot b_1/a) = 139.00, \ l_{sl,1} = 3292.2 \ cm^4
     Beulwert mit Steifenanteil kF = 6.50 + 3.15 = 9.65
     kritische elastische Querbeulspannung σcr.z = kF·σE = 509.0 N/mm², σE = 52.7 N/mm²
     Laststeigerungsfaktor für Stabilität \alpha_{cr} = 1 / [(1+\psi_z)/(4\cdot\alpha_{cr,z}) + (((1+\psi_z)/(4\cdot\alpha_{cr,z}))^2)^{1/2}] = 1.832
       mit \alpha_{cr,z} = \sigma_{cr,z}/\sigma_{z,Ed} = 1.832, \psi_z = 1.00
     bezogener Schlankheitsgrad \lambda_p = \lambda_c = \lambda_w = (\alpha_{ult}/\alpha_{cr})^{1/2} = 0.835
     Plattenbeulen bei Querspannungen:
     Abminderungsfaktor \rho_z = 1/(\phi_p + (\phi_p^2 - \lambda_p)^{1/2}) = 0.946 mit \phi_p = (1 + \alpha_p \cdot (\lambda_p - \lambda_p 0) + \lambda_p)/2 = 0.924, \alpha_p = 0.34, \lambda_p 0 = 0.8
     Interaktion zwischen plattenartigem und knickstabähnlichen Verhalten:
        kritische Beulspannung σ<sub>cr,p</sub> = α<sub>cr</sub>·σ<sub>z,Ed</sub> = 509.0 N/mm<sup>2</sup>
        kritische Beulspannung \sigma_{cr,c} = \pi^2 \cdot E/(12 \cdot (1 - \mu^2)) \cdot (t/b')^2 = 52.7 \text{ N/mm}^2, b' = 1200.0 \text{ mm}
        Abminderungsfaktor \chi_c = 1/(\Phi + (\Phi^2 - \lambda^2)^{1/2}) = 0.775 \le 1 für \lambda_c > 0.2
          mit \Phi = 0.5 \cdot (1 + \alpha \cdot (\lambda - 0.2) + \lambda^2) = 0.915, \alpha = 0.21 für Knicklinie 'a'
        endgültiger Abminderungsfaktor \rho_z = (\rho_z - \chi_c) \cdot \xi \cdot (2 - \xi) + \chi_c = 0.946 mit \xi = \sigma_{cr,p}/\sigma_{cr,c} - 1 = 8.654 > 1 \implies \xi = 1
     Grenzbeulspannung σz,Rd = ρz·fy/γM1 = 305.3 N/mm²
     Nachweis: ((\sigma_{z,Ed}/\sigma_{z,Rd})^2)^{1/2} = 0.828^{1/2} = 0.910 < 1 ok.
```

Wird dagegen der Beulwert mit dem 4H-Werkzeug ermittelt, ist das Ergebnis erheblich wirtschaftlicher

```
Gesamtfeld:
```

```
maßgebende Steife 1 mit b<sub>1</sub> = 320.0 mm, b<sub>2</sub> = 880.0 mm, \sigma_{al} = 0.0 N/mm<sup>2</sup>
Beulspannungen σz,Ed = 277.8 N/mm<sup>2</sup>
Laststeigerungsfaktor für Spannungen \alpha_{ult} = 1 / ((\sigma_{z,Ed}/f_y)^2)^{1/2} = 1.278
Laststeigerungsfaktor für Stabilität acr = 2.361 (4H-Werkzeug)
bezogener Schlankheitsgrad \lambda_p = \lambda_c = \lambda_w = (\alpha_{ult}/\alpha_{cr})^{1/2} = 0.736
Plattenbeulen bei Querspannungen:
Abminderungsfaktor \rho_z = 1/(\phi_p + (\phi_p^2 - \lambda_p)^{1/2}) = 1.167 mit \phi_p = (1 + \alpha_p \cdot (\lambda_p - \lambda_p 0) + \lambda_p)/2 = 0.857, \alpha_p = 0.34, \lambda_{p0} = 0.8
Interaktion zwischen plattenartigem und knickstabähnlichen Verhalten:
  kritische Beulspannung σcr,p = αcr·σz,Ed = 655.8 N/mm²
  kritische Beulspannung \sigma_{cr,c} = \pi^2 \cdot E/(12 \cdot (1 - \mu^2)) \cdot (t/b')^2 = 52.7 \text{ N/mm}^2, b' = 1200.0 \text{ mm}
  Abminderungsfaktor \chi_c = 1/(\Phi + (\Phi^2 - \lambda^2)^{1/2}) = 0.830 \le 1 für \lambda_c > 0.2
    mit \Phi = 0.5 \cdot (1 + \alpha \cdot (\lambda \cdot 0.2) + \lambda^2) = 0.827, \alpha = 0.21 für Knicklinie 'a'
   endgültiger Abminderungsfaktor \rho_z = (\rho_z - \chi_c) \cdot \xi \cdot (2 - \xi) + \chi_c = 1.167 mit \xi = \sigma_{cr,p}/\sigma_{cr,c} - 1 = 11.438 > 1 \Rightarrow \xi = 1
Grenzbeulspannung σz,Rd = ρz·fy/γм1 = 376.6 N/mm<sup>2</sup>
Nachweis: ((\sigma_{z,Ed}/\sigma_{z,Rd})^2)^{1/2} = 0.544^{1/2} = 0.738 < 1 ok.
```

Nachweisergebnisse



lst der Button auto in der Kopfzeile des Programmfensters angeschaltet, werden die Berechnungsergebnisse permanent abgeglichen und das Endresultat online am Bildschirm dargestellt.

Maximale Ausnutzung

 $U_{\text{max}} = 0.882 \le 1 \text{ ok.}$



Je nach Nachweisoptionen und Anzahl an Lastkollektiven kann die Berechnung und damit der Bildaufbau sehr lange dauern. pcae empfiehlt, den Button auto zunächst auszuschalten.

Vorgehensweise bei drei und mehr Steifen

Bei der Berechnung der Beulspannungen von Beulfeldern mit mehr als zwei Längssteifen nach EC 3-1-5, Anh. A, können die Steifen entweder diskret oder über eine verschmierte Steifigkeit der äquivalenten orthogonalen Platte berücksichtigt werden.

Beulwerte nach EC 3-1-5 ermitteln

☑ Gesamtfeld als äquivalente orthotrope Platte (wenn n_{st} ≥ 3)

Analog zur Beulspannung für die Plattenbeuluntersuchung mit reiner Druckkraft ergibt sich für das ausgesteifte Gesamtfeld des äquivalenten orthogonalen Stegblechs

Plattenbeulen:

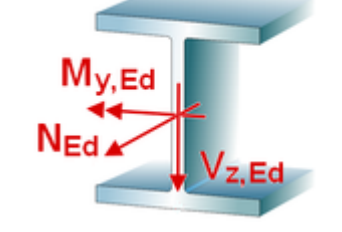
```
EC 3-1-5, Anhang A.1 (Āquivalente orthotrope Platte): Beulwert k_{\sigma}=2\cdot((1+\alpha^2)^2+\gamma\cdot1)/(\alpha^2\cdot(\psi+1)\cdot(1+\delta))=311.99,\ \alpha=1.00,\ \gamma=525.66,\ \delta=0.69,\ \psi=1.000 kritische Beulspannung \sigma_{\text{cr,p}}=k_{\sigma}\cdot\sigma_{\text{E}}=1480.4\ \text{N/mm}^2\ \text{mit}\ \sigma_{\text{E}}=\pi^2\cdot\text{E}/(12\cdot(1-\mu^2))\cdot(t/b')^2=4.7\ \text{N/mm}^2,\ b'=h_W Beulschlankheitsgrad \lambda_p=(\beta_A\cdot f_y/\sigma_{\text{cr,p}})^{1/2}=0.490,\ \beta_A=A_{\text{BI,eff}}/A_{\text{BI}}=1.000 Abminderungsfaktor \rho=1 für \lambda_p<0.5+(0.085\cdot0.055\cdot\psi)^{1/2}=0.673,\ \psi=1.000
```

Schnittgrößen



das dritte Register beinhaltet die Maske zur Eingabe der Bemessungsschnittgrößen sowie eine Übersicht der Querschnittsausnutzungen je Lastkombination

Die Schnittgrößen werden als Bemessungsgrößen mit der Vorzeichendefinition der Statik eingegeben, wobei das x,y,z-Koordinatensystem dem I,m,n-Stabsystem der pcae-Tragwerksprogramme entspricht.



Es können bis zu 10.000 Schnittgrößenkombinationen eingegeben werden.

Beulfeld					Zeile löschen		
	N _{Ed}	M _{y,Ed}	$V_{z,Ed}$	Bezeichnung	=+=	Zeile duplizieren	
	kN	kNm	kN		neu •	neue Zeile anhängen	
<u> </u>	-4000.0 -	-33760.0				Kap. 5.1.1-4)	

Schnittgrößen importieren

Detailnachweisprogramme zur Bemessung von Anschlüssen (Träger/Stütze, Träger/Träger), Fußpunkten (Stütze/Fundament) etc. benötigen Schnittgrößenkombinationen, die häufig von einem Tragwerksprogramm zur Verfügung gestellt werden.

Dabei handelt es sich i.d.R. um eine Vielzahl von Kombinationen, die im betrachteten Bemessungsschnitt des übergeordneten Tragwerkprogramms vorliegen und in das Anschlussprogramm übernommen werden sollen.

pcae stellt neben der 'per Hand'-Eingabe zwei verschiedene Mechanismen zur Verfügung, um Schnittgrößen in das vorliegende Programm zu integrieren.

Schnittgrößen aus ##- Programm importieren



Schnittgrößen aus Text-Datei einlesen



• Import aus einem 4H-Programm

Voraussetzung zur Anwendung des DTE[®]-Import-Werkzeugs ist, dass sich ein pcae-Programm auf dem Rechner befindet, das Ergebnisdaten exportieren kann.

Eine ausführliche Beschreibung zum Schnittgrößenimport aus einem pcae-Programm befindet sich hier.

Import aus einer Text-Datei

Die Schnittgrößenkombinationen können aus einer Text-Datei im ASCII-Format eingelesen werden.

Die Datensätze müssen in der Text-Datei in einer bestimmten Form vorliegen; der entsprechende Hinweis wird bei Betätigen des *Einlese-*Buttons gegeben.

Anschließend wird der Dateiname einschl. Pfad der entsprechenden Datei abgefragt.

Es werden sämtliche vorhandenen Datensätze eingelesen und in die Tabelle übernommen. Bereits bestehende Tabellenzeilen bleiben erhalten.

Wenn keine Daten gelesen werden können, erfolgt eine entsprechende Meldung am Bildschirm.

Nachweisergebnisse



lst der Button auto in der Kopfzeile des Programmfensters angeschaltet, werden permanent die Berechnungsergebnisse abgeglichen und je Lastkollektiv online am Bildschirm dargestellt.

		Beulfeld		Ausnutzung	
	N _{Ed}	$M_{y,Ed}$	$V_{z,Ed}$	U	
	kN	kNm	kN	-	
iii ===	-4000.0	-33760.0		0.882	🕨 maßgeb. Lk
iii 🎫	-4000.0	-32150.0	3288.0	0.846	
<u>iii</u> ===	-4000.0	-32750.0	3290.0	0.859	

Das maßgebende Lastkollektiv mit der höchsten Ausnutzung oder einer Fehlermeldung wird gekennzeichnet. Über den Link *maßgeb. Lk* kann der Statikausdruck dieses Lastkollektivs direkt eingesehen werden.



Je nach Nachweisoptionen und Anzahl an Lastkollektiven kann die Berechnung und damit der Bildaufbau sehr lange dauern. pcae empfiehlt, den Button auto zunächst auszuschalten.

allgemeine Erläuterungen zur Theorie Blechbeulen EC 3-1-5

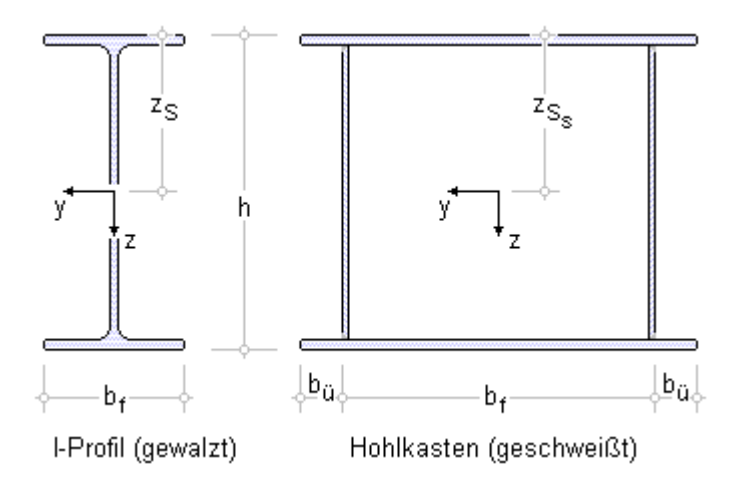
Einleitung

Im Stahlbau werden die Stabilitätsfälle Biegeknicken / Biegedrillknicken und Plattenbeulen / Schalenbeulen unterschieden.

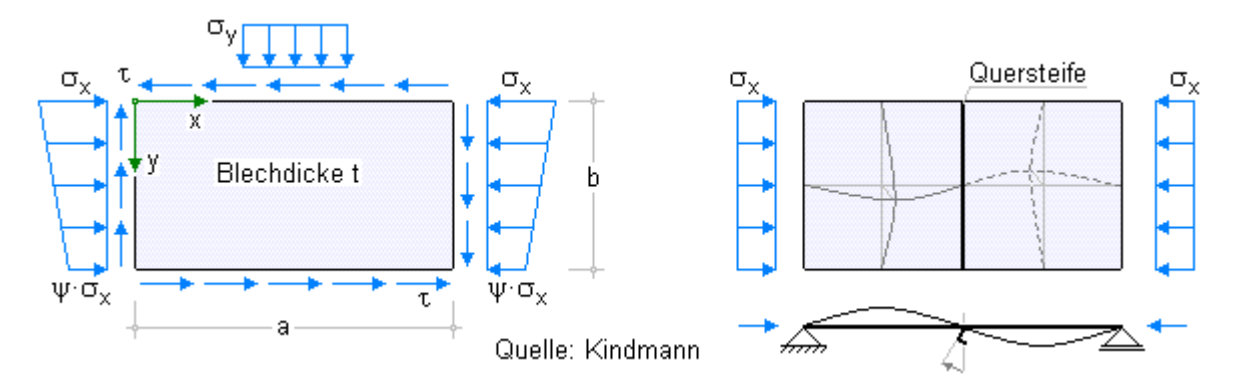
Biegeknicken / Biegedrillknicken treten bei stabförmigen, schlanken Bauteilen unter hoher Druckbeanspruchung auf. Plattenbeulen wird bei ebenen Flächentragwerken durch Druckspannungen und/oder Schubspannungen verursacht. Die Beanspruchungen entsprechen dabei den Schnittgrößen von Scheiben, die Auswirkungen den Durchbiegungen von Platten.

Unter Schalenbeulen wird das Stabilitätsversagen gekrümmter Flächentragwerke (z.B. Kreiszylinder) verstanden.

Im Programm 4H-EC3BL wird das Plattenbeulen von Querschnitten mit ebenen Teilflächen (Blechen) untersucht.



Beulgefährdet sind Querschnitte, die durch Biegemomente, Drucknormalkräfte und/oder Querkräfte belastet sind und bei großen Außenabmessungen eine geringe Blechdicke oder eine höherfeste Stahlgüte aufweisen.



Zur Verstärkung können Längs- und/oder Quersteifen angeschweißt werden, die das Blech in einzelne Beulfelder aufteilen. Zu untersuchen sind sowohl die Einzelfelder als auch das Gesamtfeld.

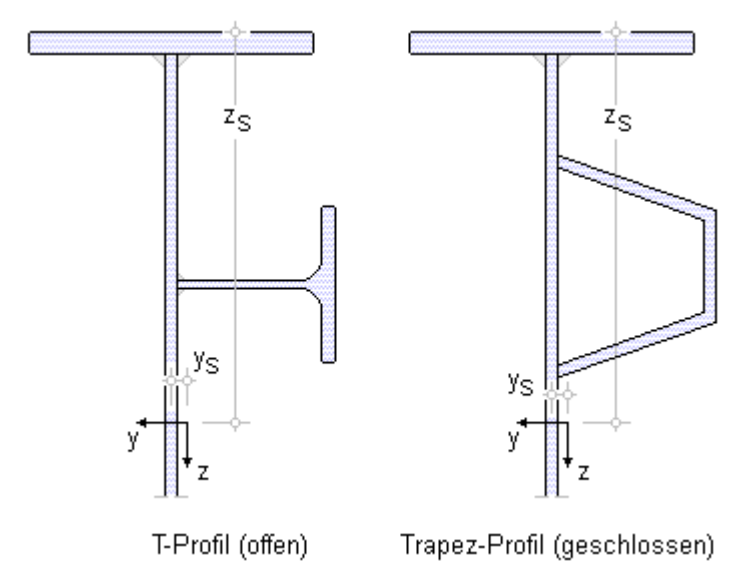
Es wird vorausgesetzt, dass die Quersteifen derart ausgebildet und angeordnet sind, dass sie als seitliche Auflager eines Beulfelds dienen.

Längssteifen wirken nur im Druckbereich des Beulfelds, sind dadurch allerdings selbst beulgefährdet.

Es muss sichergestellt sein, dass sie eine ausreichende Beulsicherheit aufweisen.

Im Programm 4H-EC3BL werden nur diskrete (keine verschmierten) Steifen behandelt.

Die Beulsicherheitsnachweise werden nach DIN EN 1993-1-5 geführt, wobei das Verfahren der wirksamen Querschnittsfläche (EC 3-1-5, 4-7) und die Methode der reduzierten Spannungen (EC 3-1-5, 10) ggf. unter Berücksichtigung von Schubverzerrungen im Grenzzustand der Tragfähigkeit (s. EC 3-1-5, 3.3) im Programm umgesetzt wurden.



Schubverzerrungen

Bei Biegeträgern mit breiten Flanschen bleibt der Querschnitt infolge der Schubverzerrung nicht eben und es kann sich aufgrund dieser Verwölbung keine konstante Verteilung der Biegenormalspannungen über die Breite des Gurts einstellen.

Um eine Anwendung der Bernoulli-Hypothese (Ebenbleiben der Querschnitte) zu ermöglichen, wird eine mittragende Breite eingeführt, über die die Maximalspannung konstant ist.

In Abhängigkeit der mittragenden Länge L_e wird ein Abminderungsfaktor β ermittelt, der die geometrische Gurtbreite b_0 reduziert.

Der Einfluss der Schubverzerrung darf jedoch vernachlässigt werden, falls gilt $b_0 < L_e/50$.

Der Abminderungsfaktor β für die mittragende Breite wird nach EC 3-1-5, Tab. 3.1, bestimmt.

EC 3-1-5, Tab. 3.1 - Abminderungsfaktor β für die mittragende Breite

Daraus ergibt sich die effektive Querschnittsfläche

- unter Voraussetzung elastischen Werkstoffverhaltens (empfohlen für die Methode der reduzierten Spannungen) zu $\mathbb{A}_{eff} = \beta \cdot \mathbb{A}_{c}$
- unter Voraussetzung elastischen Werkstoffverhaltens und unter Berücksichtigung des Plattenbeulens zu $A_{eff} = A_{c,eff} \cdot \beta_{ult}$
- unter Voraussetzung elastisch-plastischen Werkstoffverhaltens und unter Berücksichtigung des Plattenbeulens sowie der Begrenzung plastischer Dehnungen (empfohlen für das Verfahren mit wirksamen Breiten) zu

$$\begin{split} A_{eff} &= A_{c,eff} \cdot \beta^{\kappa} \geq A_{c,eff} \cdot \beta \quad ... \text{ mit } ... \\ A_{c,eff} & \text{wirksame Querschnittsfläche eines Druckgurts unter Berücksichtigung von Plattenbeulen,} \\ & \text{bei Zuggurten gilt } A_{eff} = A_c \\ \beta_{ult} &= \beta \quad \text{nach EC 3-1-5, Tab. 3.1, mit } \alpha_0 = \sqrt{\frac{A_{c,eff}}{b_0 \cdot t_f}} \quad ... \text{ und } ... \ t_f = \text{Gurtblechdicke} \\ \kappa & \text{nach EC 3-1-5, Tab. 3.1} \end{split}$$

Verfahren der wirksamen Querschnittsfläche

Das einwirkende Spannungsfeld wird in die Beulfälle *Längs-*, *Schub-* und *Querspannungsbeanspruchung* zerlegt, für die dann die Beulnachweise geführt werden.

Diese Einzelnachweise erfassen das jeweilige überkritische Tragverhalten systematisch und sehr genau, da sie z.B. auch die Spannungsumlagerung von hoch beanspruchten Querschnittsteilen in gering ausgenutzte Querschnittsteile berücksichtigen.

Die Einzelnachweise werden abschließend mithilfe eines Interaktionsnachweises zusammengeführt.

Die Verfahren sind für typische I- und Kastenquerschnitte und deren Beanspruchung ausgelegt.

Voraussetzungen

- die Beulfelder sind rechteckig und die Flansche n\u00e4herungsweise parallel
- soweit Steifen vorhanden sind, verlaufen diese in Längs- und/oder Querrichtung
- · Löcher oder Ausschnitte sind klein
- die Bauteile sind gleichförmig
- flanschinduziertes Stegbeulen ist ausgeschlossen

Plattenbeulen

Für druckbeanspruchte Blechelemente werden die Querschnittswerte für Querschnittsklasse 4 (Aeff, Ieff, Weff) ermittelt.

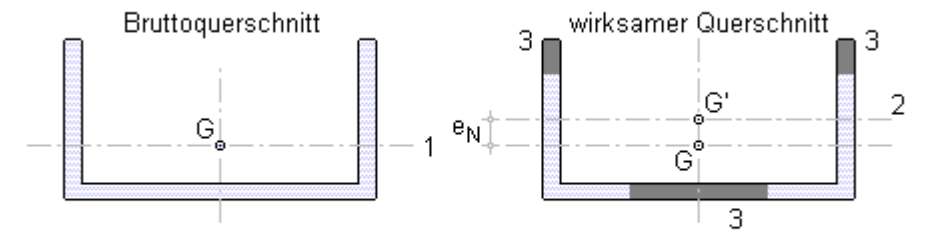
Damit können Querschnittsnachweise oder Stabilitätsnachweise (Knicken, Biegedrillknicken) geführt werden.

I.d.R. wird die wirksame Querschnittsfläche A_{eff} unter Annahme reiner Druckbeanspruchungen ($M_{Ed} = 0$) und das wirksame Widerstandsmoment W_{eff} unter Annahme reiner Biegelängsspannungen ($N_{Ed} = 0$) ermittelt.

Alternativ dürfen die wirksamen Querschnittswerte mit der resultierenden Verteilung der Längsspannungen (gleichzeitige Wirkung von N_{Ed} und M_{Ed}) bestimmt werden, wobei ein iteratives Vorgehen erforderlich ist.

Aufgrund der Schnittgrößenumlagerung kann sich ein zusätzliches Moment Δ M_{Ed} = N_{Ed} · e_N ergeben, das beim Nachweis zu berücksichtigen ist.

EC 3-1-5, Bild 4.1 - Wirkung von Normalkräften bei Querschnitten der Klasse 4



- G Schwerpunkt des Bruttoquerschnitts
- G' ... des wirksamen Querschnitts
- Schwerelinie des Bruttoguerschnitts
- des wirksamen Querschnitts
- 3 nicht wirksame Querschnittsflächen

Einzelblechfelder ohne Längssteifen

Die wirksame Fläche der Druckzone eines unausgesteiften Blechfelds wird berechnet mit

$$A_{c,eff} = p \cdot A_c \dots mit \dots A_c$$
 Druckzone des Blechfelds

Plattenartiges Verhalten

Abminderungsbeiwert p für

beidseitig gestützte Querschnittsteile (z.B. Steg von I-Profilen)

$$\begin{array}{ll} \text{für } \lambda_p \ge 0.5 + \sqrt{0.085 - 0.055 \cdot \psi} & \Rightarrow \ \rho = \left(\lambda_p - 0.055 \cdot \left(3 + \psi\right)\right) / \lambda_p^2 \le 1 \\ \text{sonst gilt } \ \rho = 1 \end{array}$$

• einseitig gestützte Querschnittsteile (z.B. Flansche von I-Profilen)

für
$$\lambda_p > 0.748 \implies \rho = (\lambda_p - 0.188) / \lambda_p^2 \le 1$$

sonst gilt $\rho = 1$ mit ...

$$\lambda_p = \sqrt{f_v/\sigma_{cr,p}}$$
 Beulschlankheitsgrad

$$\sigma_{cr,p}$$
 = $k_{\sigma,p} \cdot \sigma_E$ kritische elastische Plattenbeulspannung

$$k_{\sigma,p}$$
 — Beulwert für die orthotrope Platte, s. Tabellen 4.1, 4.2

$$\sigma_E = (\pi^2 \cdot E \cdot t^2)/(12 \cdot (1 \cdot v^2) \cdot b^2)$$
 Grundwert der Beulspannung

b Beulfeldbreite

t Beulfelddicke

E, f_ν,ν Materialbeiwerte

EC 3-1-5, Tab. 4.1 - zweiseitig gestützte druckbeanspruchte Querschnittsteile

Spannungsverteilung (Druck positiv)			wirksame Breite b _{eff}			
σ ₁	- -	σ ₂	ψ=	1 b _{eff} = ρ · b̄ b _{e1} = 0.5 · b _{eff} l	b _{e2} = (0.5⊹b _{eff}
σ ₁		σ ₂	1>ψ	≥ 0 b _{eff} = ρ · b̄ b _{e1} = 2 · b _{eff} / (5 - ψ)	b _{e2}	= b _{eff} - b _{e1}
b _c b _t b _t b _c b _t b _c b _t b _c b _c b _t b _c			ψ<	0 b _{eff} = ρ·b _c = ρ·b̄/(b _{e1} = 0.4·b _{eff} l).6·b _{eff}
$\psi = \sigma_2/\sigma_1$	1	1>ψ>0	0	0>ψ>-1	-1	-1>ψ>-3
Beulwert k _σ	4.0	8.2/(1+ψ)	7.81	7.81 - 6.29 · ψ + 9.78 · ψ ²	23.9	5.98·(1-ψ) ²

EC 3-1-5, Tab. 4.2 - einseitig gestützte druckbeanspruchte Querschnittsteile

Spannungsverteilung (Druck positiv)				W	irksame Breite b _{eff}	
σ ₂ σ ₁ σ ₁				≥ 0 Ł	o _{eff} = p · c	
σ_2 b_{eff} σ_1			ψ<	ψ≤0b _{eff} = ρ⋅b _c = ρ⋅c/(1-ψ)		
$\psi = \sigma_2/\sigma_1$ 1	0	-1	-1>ψ>-3			
Beulwert k _σ 0.43	0.57	0.85	0.57	- 0.21	·ψ + 0.07·ψ ²	
σ ₁ σ ₂ σ ₂			1>ψ3	≥ O Ł) _{eff} = p · c	
σ_1 σ_2 σ_2			ψ<	O Ł	o _{eff} = ρ·b _c = ρ·c/(1	-ψ)
$\psi = \sigma_2/\sigma_1$ 1	1	1>ψ>0		0	0 > ψ > -1	-1
Beulwert k _σ 0.43				1.70	$1.7 - 5 \cdot \psi + 17.1 \cdot \psi^2$	23.8

Der Beulschlankheitsgrad darf ersetzt werden durch

$$\overline{\lambda}_{p,red} = \overline{\lambda}_{p} \cdot \sqrt{\sigma_{com,Ed}/(f_{V}/\gamma_{M0})}$$
 ... mit ...

○com,Ed

größter Bemessungswert der einwirkenden Druckbeanspruchung im Blechfeld. Beim Knicknachweis ist $\sigma_{\text{com,Ed}}$ nach Th. II. Ord. unter Berücksichtigung globaler Imperfektionen zu ermitteln.

Knickstabähnliches Verhalten

Bei nicht ausgesteiften Blechfeldern ohne Lagerung in Längsrichtung oder mit kleinem Seitenverhältnis (a/b < 1) kann knickstabähnliches Verhalten auftreten.

Der Abminderungsbeiwert χ_c wird auf Grundlage der maßgebenden Knicklinie (a) für nicht ausgesteifte Blechfelder bestimmt (s. EC 3-1-1, 6.3.1.2)

$$\begin{split} \chi_c = & 1/\Big(\Phi + \sqrt{\Phi^2 - \overline{\lambda}_c^2}\Big) \leq 1 \qquad \text{... mit ...} \\ \Phi &= 0.5 \cdot \Big(1 + \alpha \cdot (\overline{\lambda}_c - 0.2) + \overline{\lambda}_c^2\Big) \qquad \text{Imperfektions betwert für Knicklinie (a): } \alpha = 0.21 \\ \overline{\lambda}_c &= \sqrt{f_y/\sigma_{cr,c}} \qquad \text{Knick schlank heits grad des Er satz druck stabs} \\ \sigma_{cr,c} = & (\pi^2 \cdot E \cdot t^2)/\Big(12 \cdot (1 - \nu^2)\Big) \cdot a^2 \qquad \text{kritische elastische Knick spannung} \\ a &= Beulfeldlänge \\ t &= Beulfelddicke \\ E, f_v, v &= Material beiwerte \end{split}$$

Interaktion zwischen plattenartigem und knickstabähnlichem Verhalten

Der endgültige Abminderungsfaktor wird bestimmt mit

$$\begin{array}{lll} \rho_c = (\rho - \chi_c) \cdot \xi \cdot (2 - \xi) + \chi_c & ... \ \text{mit} \ ... \\ \xi = |\sigma_{cr,p}| / |\sigma_{cr,c}| - 1 & ... \ \text{und} \ ... & 0 \le \xi \le 1 \\ |\sigma_{cr,p}| & \text{elastische Plattenbeulspannung} \\ |\sigma_{cr,c}| & \text{elastische Knickspannung} \\ |\chi_c| & \text{Abminderungsbeiwert zur Berücksichtigung knickstabähnlichen Verhaltens} \\ |\rho| & \text{Abminderungsbeiwert zur Berücksichtigung des Plattenbeulens} \end{array}$$

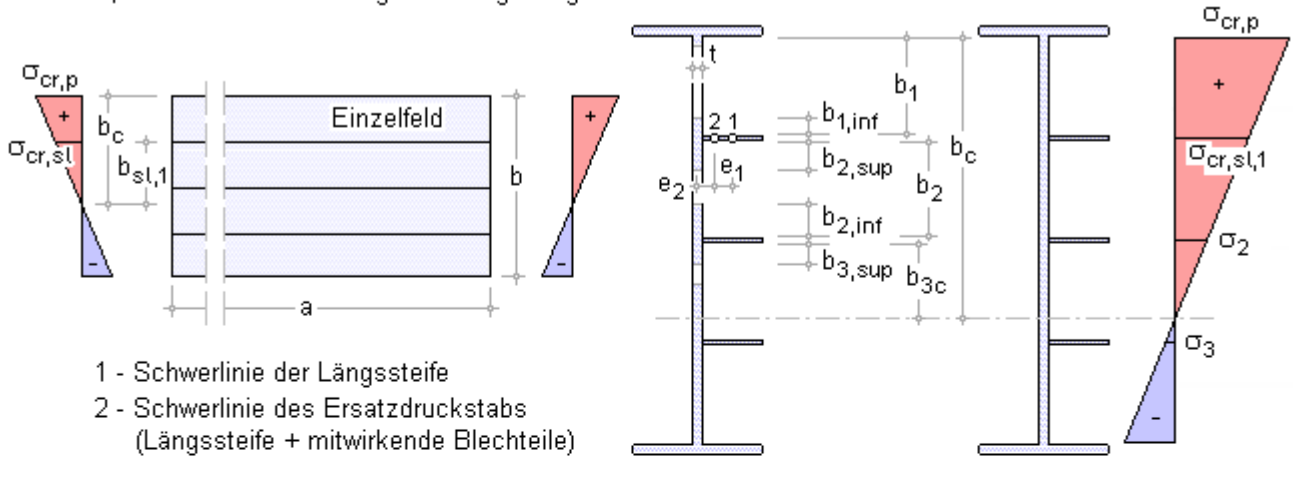
Längs ausgesteifte Blechfelder

Zunächst werden die wirksamen Flächen der Einzelfelder (s.o. Einzelblechfelder ohne Steifen) zur Berücksichtigung des Einzelfeldbeulens bestimmt. Anschließend wird die wirksame Fläche des ausgesteiften Gesamtfelds aus den wirksamen Flächen der Steifen zur Berücksichtigung des Gesamtfeldbeulens ermittelt (Modell der äquivalenten orthotropen Platte).

Die wirksame Fläche der Druckzone eines ausgesteiften Blechfelds wird berechnet mit

$$A_{c,eff,loc} + \sum \left(b_{edge,eff} \cdot t\right) \dots mit \dots \\ A_{c,eff,loc} + \sum \left(b_{edge,eff} \cdot t\right) \dots mit \dots \\ Summe der wirksamen Flächen aller Steifen und Einzelfelder, die sich ganz oder teilweise im Druckbereich befinden, jedoch nicht durch ein angrenzendes Plattenbauteil gestützt werden \\ b_{edge,eff} + wirksame Breite der Querschnittsteile, die durch ein angrenzendes Plattenbauteil gestützt werden$$

EC 3-1-5, Bild A.1 - Bezeichnungen für längsausgesteifte Beulfelder



	Breite bei Brutto- querschnittsfläche	Breite bei wirksamen Flächen nach Tab. 4.1	Bedingung für ψ _i
b _{1,inf}	$\frac{3-\psi_1}{5-\psi_1}\cdot b_1$	$\frac{3-\psi_1}{5-\psi_1}\cdot b_{1,eff}$	$\psi_1 = \frac{\sigma_{cr,sl,1}}{\sigma_{cr,p}} > 0$
b _{2,sup}	$\frac{2}{5 \cdot \psi_2} \cdot b_2$	$\frac{2}{5 - \psi_2} \cdot b_{2,eff}$	$\psi_2 = \frac{\sigma_2}{\sigma_{\text{cr,sl,1}}} > 0$
b _{2,inf}	$\frac{3-\psi_2}{5-\psi_2}\cdot b_2$	$\frac{3-\psi_2}{5-\psi_2}\cdot b_{2,eff}$	ψ2 >0
b _{3,sup}	0.4 · b _{3c}	0.4 · b _{3c,eff}	$\psi_3 = \frac{\sigma_3}{\sigma_2} < 0$

Plattenartiges Verhalten

Blechfelder mit mindestens drei Längssteifen in der Druckzone, deren Steifigkeit verschmiert werden darf, dürfen als äquivalente orthotrope Platten nachgewiesen werden.

Die kritische elastische Plattenbeulspannung am Blechfeldrand mit der größten Druckspannung ergibt sich zu

$$\sigma_{cr,p} = k_{\sigma,p} \cdot \sigma_E$$

Der Beulwert $k_{\sigma,p}$ darf entweder entsprechenden Beulwerttafeln oder mittels Computerberechnungen ermittelt werden.

Für längs ausgesteifte Blechfelder mit mindestens drei äquidistant verteilten Längssteifen darf der Beulwert näherungsweise wie folgt bestimmt werden

$$\begin{split} k_{\sigma,p} &= \frac{2 \cdot \left(\left(1 + \alpha^2 \right)^2 + \gamma - 1 \right)}{\alpha^2 \cdot \left(\psi + 1 \right) \cdot \left(1 + \delta \right)} \quad \text{... für} \quad \alpha \leq \sqrt[4]{\gamma} \\ k_{\sigma,p} &= \frac{4 \cdot \left(1 + \sqrt{\gamma} \right)}{\left(\psi + 1 \right) \cdot \left(1 + \delta \right)} \quad \text{.... für} \quad \alpha \geq \sqrt[4]{\gamma} \quad \text{... mit} \\ \psi &= \sigma_2 / \sigma_1 \geq 0.5 \quad \text{... und ...} \quad \sigma_1 \geq \sigma_2 \end{split}$$

$$\alpha = a/b \ge 0.5$$

$$\gamma = I_{st}/I_{p}$$
 mit ... $I_{p} = b \cdot t^{3}/(12 \cdot (1 \cdot v^{2}))$

$$\delta = A_{sl}/A_{p}$$
 ... mit ... $A_{p} = b \cdot t$

I_{st} Flächenträgheitsmoment des gesamten längsversteiften Blechfelds

Ast Summe der Bruttoquerschnittsflächen aller Steifen ohne Anteile des Blechfelds

Bei Blechfeldern mit ein oder zwei Steifen in der Druckzone wird das vereinfachte Modell eines Ersatzstabs mit elastischer Bettung durch ein Blech angewandt.

Bei nur einer Längssteife in der Druckzone lautet die elastische kritische Knickspannung der Steifen

$$\begin{split} \sigma_{cr,st} &= 1.05 \cdot E \, / A_{st,1} \cdot \sqrt{I_{st,1} \cdot t^3 \cdot b} \, / \big(b_1 \cdot b_2 \big) \quad \, \text{für} \, \, \, a \geq a_c \\ \sigma_{cr,st} &= \big(\pi^2 \cdot E \cdot I_{st,1} \big) / \big(A_{st,1} \cdot a^2 \big) + \big(E \cdot t^3 \cdot b \cdot a^2 \big) / \big(4 \cdot \pi^2 \cdot \big(1 - \nu^2 \big) \cdot A_{st,1} \cdot b_1^2 \cdot b_2^2 \big) \, \, ... \, \text{für} \, \, \, a \leq a_c \quad \, \text{mit} \, \\ a_c &= 4.33 \cdot \sqrt[4]{\big(I_{st,1} \cdot b_1^2 \cdot b_2^2 \big) / \big(t^3 \cdot b \big)} \end{split}$$

I_{sl,1} und A_{sl,1} setzen sich aus dem Bruttoquerschnitt der Steife und der anschließenden mitwirkenden Blechteile zusammen (s. Bild A.1)

Die kritische elastische Plattenbeulspannung wird aus $\sigma_{cr,sl}$ an dem Blechfeldrand mit der größten Druckspannung extrapoliert.

Bei zwei Steifen in der Druckzone werden zunächst die Einzelsteifen unabhängig voneinander, dann eine zusammengeführte Ersatzsteife betrachtet. Die niedrigste Beulspannung ist maßgebend.

Abminderungsbeiwert p für die äquivalente orthotrope Platte

beidseitig gestützte Querschnittsteile (z.B. Steg von I-Profilen)

$$\rho = \left(\overline{\lambda}_p - 0.055 \cdot \left(3 + \psi\right)\right) / \overline{\lambda}_p^2 \le 1 \quad ... \text{ für } ... \quad \overline{\lambda}_p > 0.5 + \sqrt{0.085 - 0.055 \cdot \psi}$$
 sonst gilt $\rho = 1$

• einseitig gestützte Querschnittsteile (z.B. Flansche von I-Profilen)

$$\rho = (\bar{\lambda}_p - 0.188)/\bar{\lambda}_p^2 \le 1 \dots \text{ für } \dots \bar{\lambda}_p \ge 0.748$$
sonst gilt $\rho = 1$

$$\begin{split} \overline{\lambda}_p &= \sqrt{\beta_{A,c} \cdot f_y / \sigma_{cr,p}} &\quad \text{Beulschlankheitsgrad für eine äquivalente orthotrope Platte} \\ \beta_{A,c} &= A_{c,eff,loc} / A_c \end{split}$$

A_c Bruttoquerschnittsfläche des längs ausgesteiften Blechfelds ohne Berücksichtigung der durch ein angrenzendes Plattenbauteil gestützten Randbereiche

Knickstabähnliches Verhalten

Bei längs ausgesteiften Blechfeldern mit großem Seitenverhältnis (a/b > 1) kann knickstabähnliches Verhalten auftreten.

Der Abminderungsbeiwert χ_C wird auf Grundlage der maßgebenden Knicklinie bestimmt (s. EC 3-1-1, 6.3.1.2)

$$\begin{split} \chi_c &= 1/\left(\Phi + \sqrt{\Phi^2 - \overline{\lambda}_c^2}\right) \leq 1 \qquad \dots \text{ mit } \dots \\ \Phi &= 0.5 \cdot \left(1 + \alpha \cdot \left(\overline{\lambda}_c - 0.2\right) + \overline{\lambda}_c^2\right) \end{split}$$

Nach EC 3-1-5, 4.5.3(5), wird i.d.R. Knicklinie (b) für Hohlsteifenquerschnitte und Knicklinie (c) für offene Steifenquerschnitte verwendet.

Imperfektionsbeiwert

$$\alpha$$
 = 0.34 für Knicklinie b
 α = 0.49 für Kn. c

Bei ausgesteiften Blechfeldern ist α zu vergrößern auf

$$\alpha_e = \alpha + 0.09/(i/e)$$
 ... mit ... $i = \sqrt{I_{sl,1}/A_{sl,1}}$... und ... $e = \max(e_1, e_2)$, s. Bild A.1

Der Knickschlankheitsgrad des Ersatzdruckstabs ergibt sich zu

$$\bar{\lambda}_c = \sqrt{\beta_{A,c} \cdot f_y / \sigma_{cr,c}}$$
 ... mit ... $\beta_{A,c} = A_{sl,1,eff} / A_{sl,1}$

 $I_{sl,1}, A_{sl,1}$ Bruttoquerschnittswerte und

A_{sl,1,eff} wirksame Querschnittsfläche des Ersatzdruckstabs, die sich aus der Steife und den angrenzenden mittragenden Blechstreifen bezogen auf Knicken senkrecht

zur Blechebene ergeben

 $\sigma_{cr,c} = \sigma_{cr,c,sl} \cdot b_c / b_{sl,1}$ kritische elastische Knickspannung

$$\sigma_{\text{cr,c,sl}} = \left(\pi^2 \cdot \mathsf{E} \cdot \mathsf{I}_{\text{sl,1}}\right) / \left(\mathsf{A}_{\text{sl,1}} \cdot \mathsf{a}^2\right)$$

a Beulfeldlänge t Beulfelddicke E, f_v Materialbeiwerte

b_c, b_{sl,1} Extrapolationsgrößen, s. Bild A.1

Interaktion zwischen plattenartigem und knickstabähnlichem Verhalten

Der endgültige Abminderungsfaktor wird bestimmt mit

$$\rho_c = (\rho - \chi_c) \cdot \xi \cdot (2 - \xi) + \chi_c \quad \dots \text{ mit } \dots$$
$$\xi = \sigma_{cr,p} / \sigma_{cr,c} - 1 \quad \dots \text{ und } \dots \quad 0 \le \xi \le 1$$

Nachweis

als Querschnittsnachweis (Th. I.O.)

$$\eta_1 = N_{Ed} / \left(f_y \cdot A_{eff} / \gamma_{M0}\right) + \left(M_{Ed} + N_{Ed} \cdot e_N\right) / \left(f_y \cdot W_{eff} / \gamma_{M0}\right) \le 1$$

• als Stabilitätsnachweis (Th. II.O.)

$$\eta_1 = N_{Ed} / \left(f_y \cdot A_{eff} / \gamma_{M1} \right) + \left(M_{Ed} + N_{Ed} \cdot e_N \right) / \left(f_y \cdot W_{eff} / \gamma_{M1} \right) \le 1$$

Schubbeulen

Für nicht ausgesteifte Blechfelder mit

und für ausgesteifte Beulfelder mit

$$h_W/t \ge 31/\eta \cdot \epsilon \cdot \sqrt{\kappa_\tau}$$

h,, lichte Höhe

t Dicke des Blechfelds

$$\epsilon = \sqrt{235/f_V}$$
 ... mit ... f_V in N/mm²

 η = 1.2 (empfohlen für Stahlsorten bis S460 im Hochbau, sonst η = 1.0)

ist ein Schubbeulnachweis zu führen. Außerdem sind Quersteifen an den Lagern vorzusehen.

Voraussetzungen

- die Beulfelder sind rechteckig und die Flansche näherungsweise parallel
- soweit Steifen vorhanden sind, verlaufen diese in Längs- und/oder Querrichtung
- Löcher oder Ausschnitte sind klein
- · die Bauteile sind gleichförmig

Bemessungswert der Beanspruchbarkeit

Der Bemessungswert der Beanspruchbarkeit besteht aus den Anteilen für den Steg und die Flansche und wird berechnet mit

$$V_{b,Rd} = V_{bw,Rd} + V_{bf,Rd} \le \eta \cdot f_y \cdot h_w \cdot t / (\sqrt{3} \cdot \gamma_{M1})$$

Beitrag des Stegs

$$V_{bw,Rd} = \chi_w \cdot f_{yw} \cdot h_w \cdot t / (\sqrt{3} \cdot \gamma_{M1})$$

Der Beiwert Xw ist bei Anordnung von Quersteifen an den Auflagern (Auflagersteifen) zu berechnen mit

EC 3-1-5, Tab. 5.1 - Beitrag des Stegs χ_w zur Schubbeanspruchbarkeit

	starre Auflagersteife	verformbare A.
\(\overline{\lambda} \widetilde{\lambda} \ \ \overline{\lambda} \ \ \overline{\lambda} \ \ \ \ \ \ \ \ \ \ \ \ \ \ \ \ \ \ \	η	η
0.83/η ≤ $\overline{\lambda}_{w}$ < 1.08	0.83/√\mathbb{\omega}_W	0.83/ \(\bar{\lambda}\) _₩
\(\overline{\lambda}_w \rightarrow 1.08 \)	1.37/(0.7+λ̄ _w)	0.83/√\mu _w

$$\overline{\lambda}_{w}$$
 = 0.76 · $\sqrt{f_{yw}/\tau_{cr}}$ modifizierte Schlankheit τ_{cr} = k_{τ} · σ_{E} kritische Schubbeulspannung

wobei der Fall starre Auflagersteifen auch für Innenfelder und Felder an Zwischenauflagern von durchlaufenden Trägern gilt.

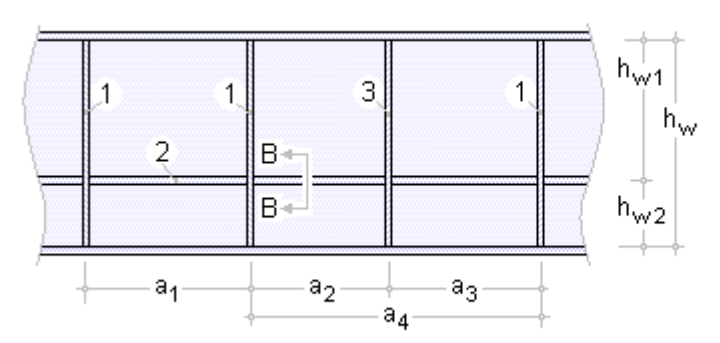
Für Blechfelder, die durch starre Quersteifen begrenzt sind und entweder keine oder mehr als zwei Längssteifen besitzen, oder für Blechfelder mit einer oder zwei Längssteifen und a/h_w ≥ 3 gilt

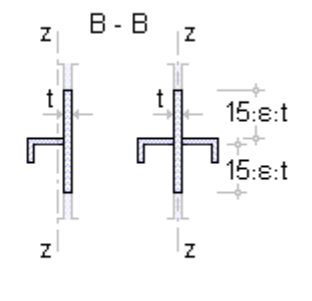
$$\begin{aligned} k_{\tau} &= 5.34 + 4.00 \cdot \left(h_{w} / a \right)^{2} + k_{\tau, sl} \dots f \ddot{u} r \dots a / h_{w} \ge 1 \\ k_{\tau} &= 4.00 + 5.34 \cdot \left(h_{w} / a \right)^{2} + k_{\tau, sl} \dots f \ddot{u} r \dots a / h_{w} \le 1 \\ k_{\tau, sl} &= 9 \cdot \left(h_{w} / a \right)^{2} \cdot \sqrt[4]{ \left(I_{sl} / \left(t^{3} \cdot h_{w} \right) \right)^{3}} \ge 2.1 / t \cdot \sqrt[3]{ I_{sl} / h_{w}} \end{aligned}$$

 I_{st} Summe der Steifigkeiten aller Einzelsteifen (einschl. mitwirkende Stegblechbreite) um die z-Achse Für Blechfelder mit einer oder zwei Längssteifen und a/h_w < 3 gilt

$$k_{\tau} = 4.1 + (6.3 + 0.18 \cdot I_{st} / (t^3 \cdot h_w))/a^2 + 2.2 \cdot \sqrt[3]{I_{st} / (t^3 \cdot h_w)}$$

EC 3-1-5, Bild 5.3 - Stegblech mit Quer- und Längssteifen





1 - starre Quersteife 2 - Längsst. 3 - verformbare Q.

Grundwert der Beulspannung

$$\sigma_{E} = (\pi^{2} \cdot E \cdot t^{2})/(12 \cdot (1 - v^{2})) \cdot h_{vv}^{2}$$

Beitrag der Flansche

Werden die Flansche bei Annahme eines Zweipunktquerschnitts nicht vollständig für die Querschnittsbeanspruchung ausgenutzt, darf der Flanschbeitrag zur Schubbeanspruchbarkeit herangezogen werden.

Wenn Med MRd, gilt

$$V_{bf,Rd} = (b_f \cdot t_f^2 \cdot f_v)/(c \cdot \gamma_{M1}) \cdot (1 - (M_{Ed}/M_{f,Rd})^2)$$
 ... mit ...

 $b_{\mathbf{f}}, t_{\mathbf{f}} \quad \text{Querschnittswerte für den Flansch, der die kleinere Beanspruchbarkeit für Normalkräfte liefert, wobei gilt } b_{\mathbf{f}} \leq 15 \cdot s \cdot t_{\mathbf{f}}$

$$c = a \cdot (0.25 + (1.6 \cdot b_f \cdot t_f^2 \cdot f_v) / (t_f \cdot h_w^2 \cdot f_v))$$

 $\begin{aligned} \mathsf{M}_{\mathsf{f},\mathsf{Rd}} &= \mathsf{M}_{\mathsf{f},\mathsf{k}} / \gamma_{\mathsf{M}0} \cdot \left(1 - \left(\mathsf{N}_{\mathsf{Ed}} / \left((\mathsf{A}_{\mathsf{f}1} + \mathsf{A}_{\mathsf{f}2}) \cdot \mathsf{f}_{\mathsf{y}} / \gamma_{\mathsf{M}0}\right)\right)\right) \end{aligned} \\ & \text{Bernessungswert der Biegebeanspruchbarkeit} \\ & \text{bei Berücksichtigung allein der effektiven Flächen der Flansche} \enspace \mathsf{A}_{\mathsf{f}1} \text{ und } \mathsf{A}_{\mathsf{f}2} \end{aligned}$

$$M_{f,k} = min(A_{f1}, A_{f2}) \cdot (h_w + 0.5 \cdot (t_{f1} + t_{f2})) \cdot f_y$$

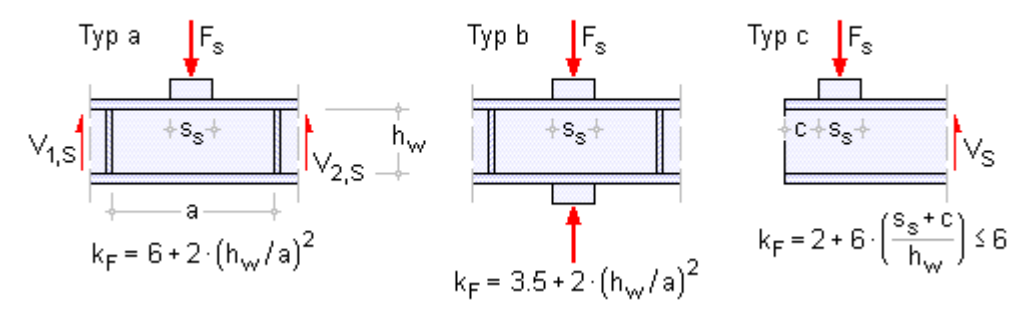
Nachweis

$$\eta_3 = V_{Ed} / V_{b,Rd} \le 1$$

Querlastbeulen

Querlasten werden über die Flansche in den Steg eingeleitet. Es werden drei Arten der Lasteinleitung (ohne Quersteifen) unterschieden, die zu unterschiedlichen Beulwerten führen.

EC 3-1-5, Bild 6.1 - Beulwerte für verschiedene Arten der Lasteinleitung



Bemessungswert der Beanspruchbarkeit

$$F_{Rd} = f_{vw} \cdot L_{eff} \cdot t_w / \gamma_{M1}$$

 $L_{\rm eff}$ wirksame Lasteinleitungslänge unter Berücksichtigung des Stegbeulens bei Querlasten $L_{\rm eff}$ = $\chi_{\rm F} \cdot l_{\rm V}$

l, wirksame Lasteinleitungslänge ohne Stegbeulen

$$l_y = s_s + 2 \cdot t_f \cdot (1 + \sqrt{m_1 + m_2}) \le a$$
 für Typen (a) und (b)

$$l_v = l_e + t_f \cdot \sqrt{0.5 \cdot m_1 + (l_e/t_f)^2 + m_2}$$
 für Typ (c) ... mit ...

$$l_e = (k_F \cdot E \cdot t_w^2)/(2 \cdot f_{vw} \cdot h_w) \le s_s + c$$

$$m_1 = (f_{vf} \cdot b_f)/(f_{vw} \cdot t_w)$$

$$m_2 = 0.02 \cdot (h_w/t_f)^2$$
 ... für ... $\bar{\lambda}_F > 0.5$... sonst ... $m_2 = 0$ (grundsätzlich empfohlen)

 $\chi_F = 0.5/\overline{\lambda}_F$ Abminderungsfaktor infolge Stegbeulen bei Querlasten

$$\bar{\lambda}_F = \sqrt{l_V \cdot t_W \cdot f_{VW} / F_{CT}}$$
 Beulschlankheitsgrad

$$F_{cr} = 0.9 \cdot k_F \cdot E \cdot t_w^3 / h_w$$
 Ersatzverzweigungslast

k_F Beulwert für Stege ohne Längssteifen s. Bild 6.1

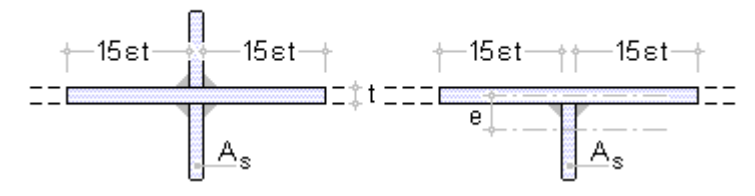
$$k_F = 6 + 2 \cdot \left(h_W/a\right)^2 + \left(5.44 \cdot b_1/a - 0.21\right) \cdot \sqrt{\gamma_S}$$
 Beulwert für Stege mit Längssteifen gilt für $0.05 \le b_1/a \le 0.3$ und $b_1/h_W \le 0.3$ für Typ (a)

b₁ Höhe des belasteten Einzelfelds als lichter Abstand zwischen dem belasteten Flansch und der ersten Steife

$$\gamma_{s} = 10.9 \cdot l_{sl,1} / (h_{w} \cdot t_{w}^{3}) \le 13 \cdot (a/h_{w})^{3} + 210 \cdot (0.3 - b_{1}/a)$$

I_{st,1} Flächenträgheitsmoment der zu dem belasteten Flansch am nächsten gelegenen Steife einschließlich der wirksamen Stegbreite, wobei 15⋅s⋅t≤ lichter Abstand der Steifen

EC 3-1-5, Bild 9.1, wirksamer Querschnitt von Steifen



Nach NA-DE darf die Ersatzverzweigungslast für Stege mit Längssteifen ermittelt werden zu

$$\begin{split} F_{cr} &= (F_{cr,1} \cdot F_{cr,2}) / (F_{cr,1} + F_{cr,2}) \dots mit \dots \\ F_{cr,1} &= k_{f,1} \cdot (\pi^2 \cdot E) / (12 \cdot (1 - \nu^2)) \cdot t_w^3 / h_w \\ F_{cr,2} &= k_{f,2} \cdot (\pi^2 \cdot E) / (12 \cdot (1 - \nu^2)) \cdot t_w^3 / b_1 \dots und \dots \\ k_{f,1} &= k_F(s.o.) \\ k_{f,2} &= (0.8 \cdot (s_s + 2 \cdot t_f) / a + 0.6) \cdot (a / b_1)^{(0.6 \cdot (s_s + 2 \cdot t_f) / a + 0.5)} \end{split}$$

Nach NA-DE ist eine genauere Ermittlung des Beulwerts \bar{k}_F nach diesem Verfahren z.B. mit Software oder aus Literatur nicht zulässig.

Der Abminderungsfaktor infolge Stegbeulen bei Querlasten wird nach NA-DE berechnet mit

$$\chi_F = 1/\left(\phi + \sqrt{\phi^2 - \overline{\lambda}_F}\right) \le 1 \quad ... \text{ mit } ... \quad \phi = 0.5 \cdot \left(1 + 0.21 \cdot \left(\overline{\lambda}_F - 0.80\right) + \overline{\lambda}_F\right)$$
 Beulschlankheitsgrad $\overline{\lambda}_F$ (s.o.) mit $m_2 = 0$

Nachweis

$$\eta_2 = F_{Ed}/F_{Rd} \le 1$$

Interaktionen

Interaktion zwischen Schub, Biegemoment und Normalkraft

Für den Steg von Doppel-T- oder Kastenquerschnitten ist die gleichzeitige Wirkung von Schub, Biegemoment und Normalkraft zu untersuchen, wenn die Querkrafttragfähigkeit des Stegs $\overline{\eta}_3 > 0.5$ ist.

$$\overline{\eta}_{1}$$
+ $(1-M_{f,Rd}/M_{pl,Rd})\cdot (2\cdot \overline{\eta}_{3}-1)^{2} \le 1$... mit ...
 $\overline{\eta}_{1} = M_{Ed}/M_{pl,Rd} \ge M_{f,Rd}/M_{pl,Rd}$
 $\overline{\eta}_{3} = V_{Ed}/V_{bw,Rd}$

Das plastische Moment M_{pl,Rd} wird dabei aus den effektiven Querschnittsflächen der Flansche und der vollen Querschnittsfläche des Stegs (unabhängig von der Querschnittsklasse) berechnet.

Interaktion zwischen Querbelastung an den Längsrändern, Biegemoment und Normalkraft

$$\eta_2 + 0.8 \cdot \eta_1 \le 1.4$$

Wirkt eine Querlast auf den Zugflansch, ist der Interaktionsnachweis nicht zu führen. Allerdings ist ein elastischer Spannungsnachweis erforderlich.

Interaktion zwischen Querbelastung an den Längsrändern und Querkraft (nur NA-DE)

$$(\eta_3 \cdot (1 - F_{Ed} / (2 \cdot V_{Ed})))^{1.6} + \eta_2 \le 1$$

Methode der reduzierten Spannungen

Der Vorteil dieses Verfahrens liegt darin, dass es z.B. auch für Bauteile mit veränderlichem Querschnitt oder Träger mit Stegausschnitten anwendbar ist.

Der Beulnachweis wird auf Grundlage des gesamten einwirkenden Spannungsfeldes geführt. Dabei wird die überkritische Tragreserve von Einzelfeldern i.d.R. erfasst, nicht jedoch die Spannungsumlagerung von hoch beanspruchten Querschnittsteilen in weniger ausgenutzte Querschnittsteile.

Die Tragbeulspannung des schwächsten Querschnittsteils ist somit maßgebend für die Tragfähigkeit des Gesamtquerschnitts.

Voraussetzungen

- soweit Steifen vorhanden sind, verlaufen diese in Längs- und/oder Querrichtung
- · Löcher oder Ausschnitte sind klein
- die Bauteile sind gleichförmig
- flanschinduziertes Stegbeulen ist ausgeschlossen

Traglast

Bei ausgesteiften und nicht ausgesteiften Blechfeldern darf Querschnittsklasse 3 angenommen werden, wenn gilt

$$\rho \cdot \alpha_{ult,k} / \gamma_{M1} \ge 1 \dots mit \dots$$

α_{ult,k}= f_y/σ_{v,Ed} kleinster Faktor für die Vergrößerung der Bemessungslasten, um den charakteristischen Wert der Beanspruchbarkeit am kritischen Punkt des Blechfelds zu erreichen

$$\sigma_{v,Ed} = \sqrt{\sigma_{x,Ed}^2 + \sigma_{z,Ed}^2 - \sigma_{x,Ed} \cdot \sigma_{z,Ed} + 3 \cdot \tau_{Ed}^2} \quad \text{Vergleichsspannung}$$

p ist der Reduktionsbeiwert in Abhängigkeit des Schlankheitsgrads des gesamten Blechfeldes, der

entweder als kleinster Wert der Reduktionsbeiwerte für Platten- (ρ_x), Querlast- (ρ_z) und Schubbeulen (χ_w)
 zu dem Nachweisformat

$$\left(\sigma_{_{\boldsymbol{V}}}/(f_{_{\boldsymbol{y}}}/\gamma_{M1})\right)^{2} \leq \min\left(\rho_{_{\boldsymbol{X}}},\rho_{_{\boldsymbol{Z}}},\chi_{_{\boldsymbol{W}}}\right)^{2}$$

oder als aus den Reduktionsbeiwerten für Platten- (ρ_x), Querlast- (ρ_z) und Schubbeulen (χ_w) interpolierter
 Reduktionsbeiwert zu dem Nachweisformat

$$\left(\left(\sigma_{x,Ed}/\rho_{x}\right)^{2}+\left(\sigma_{z,Ed}/\rho_{z}\right)^{2}-\left(\sigma_{x,Ed}/\sigma_{z,Ed}\right)/\left(\rho_{x}\cdot\rho_{z}\right)+3\cdot\left(\tau_{Ed}/\chi_{w}\right)^{2}\right)/\left(f_{y}/\gamma_{M1}\right)\leq1$$

führt. Ggf. ist knickstabähnliches Verhalten bei Platten- und Querlastbeanspruchung zu berücksichtigen.

Bei biaxialem Druck aus Platten- und Querlastbeanspruchung wird das gemischte Glied der Gleichung mit dem Wert $\rho_x \cdot \rho_z$ multipliziert (s. Kommentar zu DIN EN 1993-1-5, Stahlbaukalender 2012).

Alle Reduktionsbeiwerte werden gebildet mit dem modifizierten Schlankheitsgrad des Blechfelds

$$\bar{\lambda}_p = \sqrt{\alpha_{ult,k}/\alpha_{cr}}$$
 ... mit ...

α_{cr} kleinster Faktor für die Vergrößerung der Bemessungslasten, um die elastische Verzweigungsbelastung für das gesamte einwirkende Spannungsfeld zu erreichen

Kann α_{cr} nicht für das gesamte Blechfeld einschließlich der Einzelfelder als Ganzes bestimmt werden, so dürfen getrennte Nachweise für die Einzelfelder und das Gesamtfeld geführt werden.

Liegen nur die Werte $\alpha_{cr,i}$ jeweils für die Komponenten des Spannungsfeldes vor (d.h. $\alpha_{cr,x}$ für $\sigma_{x,Ed}$, $\alpha_{cr,z}$ für $\sigma_{z,Ed}$ und $\alpha_{cr,t}$ für τ_{Ed}), so darf der Wert für die gemeinsame Wirkung bestimmt werden mit

$$\begin{split} \frac{1}{\alpha_{cr}} &= \frac{1 + \psi_x}{4 \cdot \alpha_{cr,x}} + \frac{1 + \psi_z}{4 \cdot \alpha_{cr,z}} + \left(\left(\frac{1 + \psi_x}{4 \cdot \alpha_{cr,x}} + \frac{1 + \psi_z}{4 \cdot \alpha_{cr,z}} \right)^2 \pm \frac{1 - \psi_x}{2 \cdot \alpha_{cr,x}^2} + \frac{1 - \psi_z}{2 \cdot \alpha_{cr,z}^2} + \frac{1}{\alpha_{cr,\tau}^2} \right)^{0.5} \quad \dots \text{ mit } \dots \\ \alpha_{cr,x} &= \frac{\sigma_{cr,x}}{\sigma_{x,Ed}} \quad \dots \text{ und } \dots \quad \alpha_{cr,z} = \frac{\sigma_{cr,z}}{\sigma_{z,Ed}} \quad \dots \text{ und } \dots \quad \alpha_{cr,\tau} = \frac{\tau_{cr}}{\tau_{Ed}} \end{split}$$

Zur Ermittlung der Reduktionsbeiwerte ρ_X und χ_W s. Verfahren der wirksamen Querschnittsfläche.

Für Querbelastung gilt nach NA-DE

$$\begin{split} \rho_z &= 1/\Big(\phi + \sqrt{\phi^2 - \lambda_p}\,\Big) \le 1 \quad ... \text{ mit } ... \\ \phi &= 0.5 \cdot \Big(1 + \alpha_p \cdot \big(\lambda_p - \lambda_0\big) + \lambda_p \Big) \dots \text{ und } ... \quad \alpha_p = 0.34 \dots \text{ und } ... \quad \lambda_0 = 0.80 \end{split}$$

flanschinduziertes Stegbeulen

Das Einknicken des Druckflansches in den Steg ist zu vermeiden. Daher ist unter Vernachlässigung von Steifen folgendes Kriterium zu erfüllen

$$h_W/t_W \le k \cdot E/f_V \cdot \sqrt{A_W/A_{fc}} \dots mit \dots$$

A_{fc} effektive Querschnittsfläche des Druckflanschs (bei zwei Stegen nur die Hälfte)

k = 0.3 bei Ausnutzung plastischer Rotationen

k = 0.4 ... der plastischen Momentenbeanspruchbarkeit

k = 0.55 ... der elastischen Momentenbeanspruchbarkeit

Steifen

Längssteifen

Bei offenen Querschnitten (z.B. Flachstahl, T-, L-Profil) ist nachzuweisen, dass Drillknicken vermieden wird. Dazu ist folgendes Kriterium zu erfüllen

$$I_T/I_p \ge 5.3 \cdot f_y/E$$
 ... mit ...

 $I_p = I_y + I_z$ polares Trägheitsmoment um den Anschlusspunkt an das Blech

 I_T St. Venant'sches Torsionsträgheitsmoment

Quersteifen

Quersteifen sind so auszubilden, dass sie als starre Lagerung des Beulfelds dienen.

Es ist i.d.R. mit einer elastischen Berechnung nach Th.II.O. nachzuweisen, dass im GZT die maximale Spannung in den Steifen unter der Bemessungslast die Streckgrenze f_y/γ_{M1} nicht überschreitet und die zusätzliche Auslenkung zu der Imperfektion den Wert b/300 nicht überschreitet.

Unter der Annahme, dass keine Normalkräfte in den Quersteifen vorhanden sind, dürfen beide Kriterien als erfüllt angesehen werden, wenn gilt

$$\begin{split} & \vdash \supseteq \sigma_m/E \cdot \left(b/\pi\right)^4 \cdot \left(1+w_0 \cdot \left(300/b\right) \cdot u\right) \; \dots \; \text{mit} \; \dots \\ & \sigma_m = \sigma_{cr,c}/\sigma_{cr,p} \cdot N_{Ed}/b \cdot \left(1/a_1+1/a_2\right) \\ & w_0 = s/300 \; \dots \; \text{mit} \; \dots \; s \equiv \min\left(a_1,a_2,b\right) \\ & u = \pi^2 \cdot E \cdot e_{max}/\left(f_y \cdot 300 \cdot b/\gamma_M\right) \ge 1 \\ & \sigma_{cr,c}/\sigma_{cr,p} = 1 \; \dots \; \text{auf} \; \text{der} \; \text{sicheren} \; \text{Seite} \; \text{liegend} \\ & N_{Ed} = \sigma_{c,max} \cdot b_c/2 \; \dots \; \text{mit} \; \dots \; b_c \quad \text{H\"{o}he} \; \text{der} \; \text{Druckfl\"{a}che} \\ & a_1,a_2 \quad \text{L\"{a}ngen} \; \text{der} \; \text{benachbarten} \; \text{Beulfelder} \\ & e_{max} \quad \text{Abstand} \; \text{der} \; \text{Randfaser} \; \text{zum} \; \text{Schwerpunkt} \; \text{der} \; \text{Steife} \end{split}$$

Außerdem ist bei Quersteifen mit offenen Querschnitten (z.B. Flachstahl, T-, L-Profil) Drillknicken zu vermeiden.

Liegt eine **starre Auflagersteife** vor, bilden zwei doppelseitig angeordnete Quersteifen die Flansche eines kurzen Biegeträgers der Länge h_w. Die Mindestquerschnittsfläche einer doppelseitigen Quersteife ist

$$A_{st,min} = 4 \cdot h_w \cdot t^2 / e$$
 ... mit ...
 $e > 0.1 \cdot h_w$ Abstand zwischen den Mittelebenen der Flachbleche

Zwischenliegende Quersteifen, die als starre Randlagerung für die Stegbeulfelder dienen, haben i.d.R. mit dem mittragenden Teil des Stegs folgenden Mindestbedingungen für das Flächenträgheitsmoment zu genügen

$$\begin{split} & \text{für a/h}_{w} \leq \sqrt{2}: \ I_{\text{st,min}} = 1.5 \cdot h_{w}^{3} \cdot t^{3} / a^{2} \\ & \text{für a/h}_{w} \geq \sqrt{2}: \ I_{\text{st,min}} = 0.75 \cdot h_{w} \cdot t^{3} \\ & \text{Tragfähigkeit} \ : \ N_{\text{Ed,st}} = V_{\text{Ed}} - 1 / \bar{\lambda}_{w}^{2} \cdot f_{yw} \cdot h_{w} \cdot t / \left(\sqrt{3} \cdot \gamma_{\text{M1}} \right) \end{split}$$

Querschnittsklasse

Querschnitte werden auf Grund ihrer geometrischen Beanspruchbarkeit durch lokales Beulen in vier Querschnittsklassen eingeteilt (s. EC 3-1-1, 5.5).

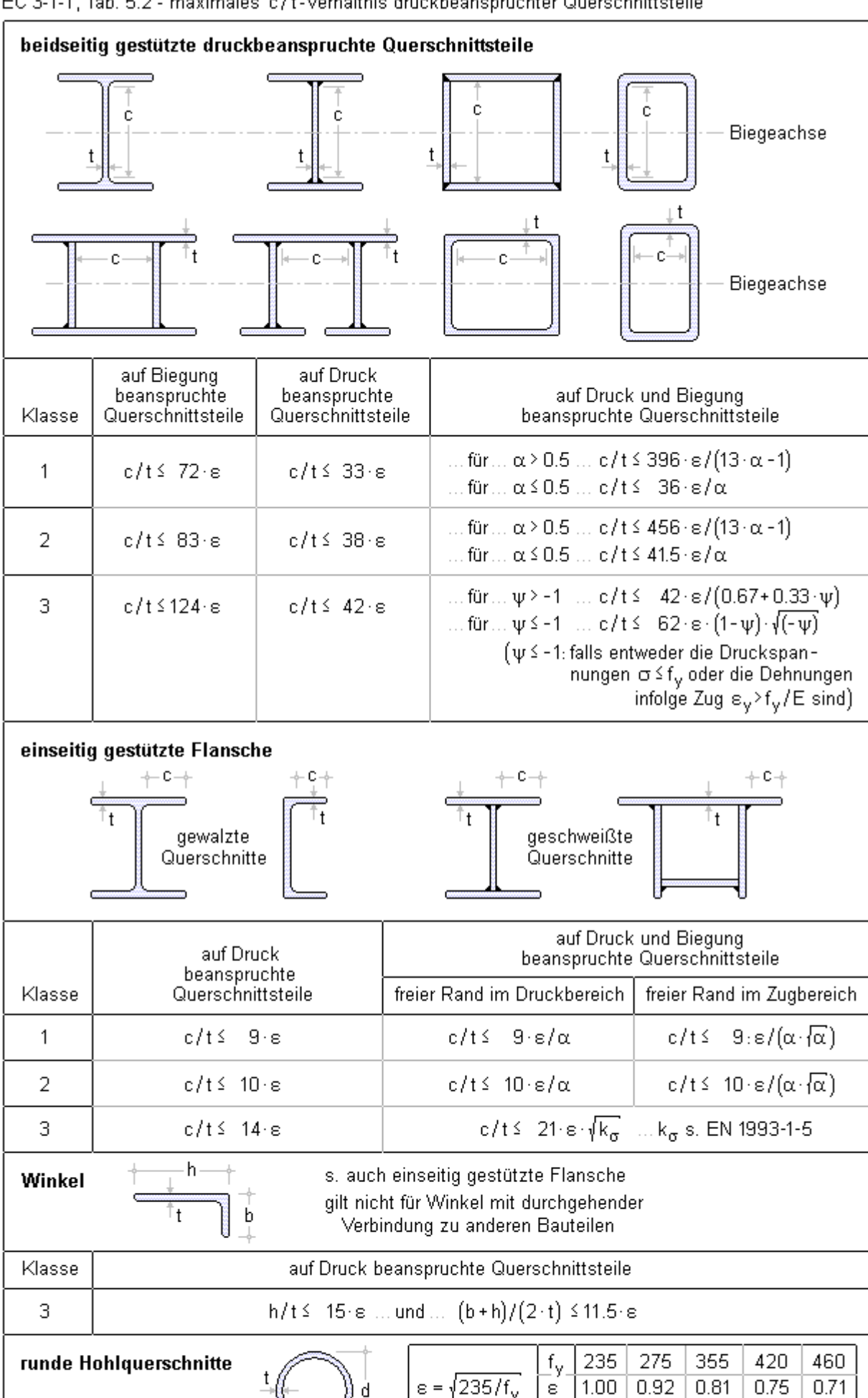
- Querschnitte der Klasse 1 können plastische Gelenke mit ausreichender plastischer Momententragfähigkeit und Rotationskapazität ausbilden
- Querschnitte der Klasse 2 können die plastische Momententragfähigkeit entwickeln, haben aber nur eine begrenzte Rotationskapazität
- Querschnitte der Klasse 3 erreichen für eine elastische Spannungsverteilung die Streckgrenze in der ungünstigsten Querschnittsfaser, können aber die plastische Momententragfähigkeit nicht entwickeln
- Querschnitte der Klasse 4 sind solche, bei denen örtliches Beulen vor Erreichen der Streckgrenze auftritt

Für die Beuluntersuchung bedeutet das, dass Querschnitte der Klassen 1 bis 3 als nicht beulgefährdet bzgl. lokalen Beulens betrachtet werden dürfen.

Die Klassifizierung eines Querschnitts ist vom c/t-Verhältnis seiner druckbeanspruchten Teile abhängig, wobei

die höchste Klasse eines Querschnittsteils maßgebend für die Klasse des Gesamtquerschnitts ist. Die Grenzabmessungen können den folgenden Tabellen entnommen werden.

EC 3-1-1, Tab. 5.2 - maximales c/t-Verhältnis druckbeanspruchter Querschnittsteile



	΄ ε ² 1.00 0.85 0.66 0.56 0.51
Klasse	auf Biegung und / oder Druck beanspruchte Querschnittsteile
1	d/t≤ 50·ε ²
2	d/t≤ 70·ε ²
3	d/t≤ 90·ε²für d/t>90·ε² s. EN 1993-1-6

Werden keine Stabilitätsnachweise (Biegeknicken, Biegedrillknicken) geführt, dürfen Querschnitte der Klasse 4 wie Querschnitte der Klasse 3 behandelt werden, falls das c/t-Verhältnis, das mit einer Erhöhung von ε um

$$\sqrt{f_{\gamma}/(\gamma_{M0}\cdot\sigma_{com,Ed})}$$
 ... mit ...

Ocom,Ed größter Bemessungswert der Druckspannung im Bemessungsteil

ermittelt wird, kleiner als die Grenze für Klasse 3 ist.

Bei Querschnitten der Klasse 4 dürfen effektive Breiten (s. EC 3-1-5, 4.4) verwendet werden, um die Abminderung der Beanspruchbarkeit infolge lokalen Beulens zu berücksichtigen.

4//-Werkzeug zur Berechnung von Beulfaktoren

Der Grundspannungszustand des Beulfelds kann durch den ebenen Spannungszustand einer Scheibe dargestellt werden. Die Beulsteifen bleiben hierbei unberücksichtigt.

Die Normalspannungen σ_x werden durch die vier Werte an den Ecken des Beulfelds definiert. Hieraus resultiert ein in beiden Koordinatenrichtungen möglicher linearer Spannungsverlauf.

Der Schubspannungsverlauf ist konstant.

Am oberen oder unteren Längsrand können konzentrierte Blockspannungen aus Querlasten einwirken.

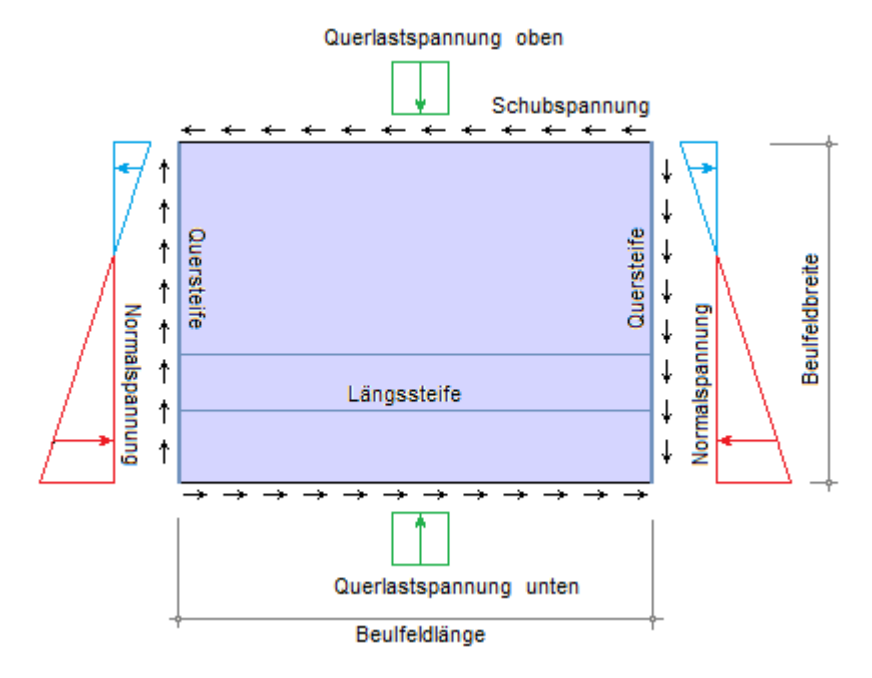
Zur Formulierung der Übergangsbedingungen an den Scheibenlängsrändern wird die Belastung in Fourierreihen entwickelt.

Für die Beulfläche und die Längsrandbelastung werden Reihenansätze gewählt, die prinzipiell aus unendlich vielen Gliedern bestehen.

Die Fourierreihenglieder n_x und n_y bestimmen die maximale Anzahl an Halbwellen der Beulfigur in x- und y-Richtung des Beulfelds.

Die Längs- und Quersteifenanordnungen sind hierbei die Bestimmungsgrößen.

Die Güte der Approximation der Querbelastung durch die Fourierreihenentwicklung sinkt mit geringer werdender Lastausbreitung, so dass für die Approximation von lokal eng begrenzten Querspannungen (z.B. infolge Radlasteinleitung) ein größerer Wert n_q für die Anzahl an Fourierreihenglieder vorzusehen ist als für die Entwicklung einer Querspannung über die gesamte Beulfeldlänge.



Die Anzahl der berücksichtigten Reihenglieder bestimmt demzufolge die Genauigkeit, mit der die vorhandene Belastung angenähert wird, und damit auch wesentlich den Spannungszustand der Scheibe.

Berechnungsverfahren

Zur Lösung des Beulproblems wird die Energiemethode verwendet, mit der das Variationsproblem

$$\bar{\delta} \cdot (\bar{\delta}^2 \cdot \pi_0) = 0$$

formuliert werden kann. Mit π_0 wird die potentielle Energie des Grundzustands bezeichnet.

Unter Anwendung des Ritz'schen Verfahrens wird das Variationsproblem auf eine Extremwertaufgabe reduziert.

Als Ansatzfunktion für die Beulfigur wird die Doppelsinusreihe

$$w(x,y) = \sum \sum A_{mn} \cdot \sin \frac{m\pi x}{a} \cdot \sin \frac{n\pi y}{h}$$

gewählt, die an allen Rändern die Navier'schen Randbedingungen erfüllt.

Durch die Variationen nach den unbekannten Ritzparametern erhält man das allgemeine Eigenwertproblem

$$(\underline{A} - k_i \cdot \underline{B}) \cdot \underline{v}_i = \underline{0} \dots \text{mit} \dots$$

A, B symmetrische Matrizen

Eigenwert des Problems

zugehöriger Eigenvektor

Die Ordnung des Eigenwertproblems hängt direkt von den berücksichtigten Reihengliedern ab.

Mit n_x Reihengliedern in x-Richtung und n_y Reihengliedern in y-Richtung ergibt sich die Ordnung des Gleichungssystems zu

$$s = n_x \cdot n_y$$

Das Beulproblem reduziert sich also auf die Aufgabe, den kleinsten Eigenwert α_{cr} = min k_i des Eigenwertproblems zu bestimmen, da sich mit diesem die niedrigste Verzweigungslast ergibt.

Im kritischen Nachbarzustand nimmt die gewählte Bezugsspannung σ_{Ed} dann den Wert

$$\sigma_{cr} = \alpha_{cr} \cdot \sigma_{Ed}$$

an. Bei kombinierter Belastung wird vorausgesetzt, dass alle Spannungen im gleichen Verhältnis bis zur Beulgrenze anwachsen. Mit dieser Bedingung erhält man einen von der Bezugsspannung unabhängigen Beulwert.

Lösung des Eigenwertproblems

Zur Ermittlung des Eigenwerts wird das Jakobi-Verfahren (Rotationsverfahren) eingesetzt. Dieses Verfahren ist unempfindlich für Ausnahmefälle wie betragsnahe oder betragsgleiche Eigenwerte und es liefert alle Eigenwerte des Problems.

Ausgehend von dem Matrizeneigenwertproblem (s.o.)

$$(\underline{A} - k_i \cdot \underline{B}) \cdot \underline{v}_i = \underline{0}$$

werden die beiden reell-symmetrischen Matrizen A und B simultan durch eine Kongruenztransformation auf die Diagonalmatrizen <u>L</u> und <u>I</u> überführt.

 $\underline{X} \ \underline{AX} = \underline{L} \ \dots \ \text{mit} \ \dots \ \underline{X} \ \ \text{Modalmatrix der Eigenvektoren} \ \dots \ \text{und} \ \dots$ $\underline{L} \ \ \ \text{Diagonalmatrix der Eigenwerte}$

XBX=I ... mit ... I Einheitsmatrix

Für Längsrandbelastung und Beulfläche werden Fourierreihenansätze gewählt, die prinzipiell aus unterschiedlich vielen Gliedern bestehen können.

Die Anzahl der Reihenglieder bestimmt die Ordnung des zu lösenden Gleichungssystems und den auftretenden Abbruchfehler.

Der Abbruchfehler bei einer bestimmten Anzahl von Reihengliedern hängt von vielen Parametern ab. Besonders erwähnt seien hier die Anzahl und Steifigkeit der Beulsteifen und die Belastungsart. Bei komplexen Systemen ist es ratsam, den Abbruchfehler durch Testrechnungen mit veränderter Anzahl der Reihenglieder abzuschätzen.

Literatur zur Beulwertberechnung

- Kuhlmann, U. etc.: Competitive steel and composite bridges by innovative steel-plated structures, Final Report, Research Fund for Coal an Steel, European Communities, 2008
- Kindmann, R., Kraus, M.: Finite-Elemente-Methoden im Stahlbau, Bauingenieur-Praxis, Verlag Ernst & Sohn, 2013
- Klöppel, K., Scheer, J.: Beulwerte ausgesteifter Rechteckplatten, Verlag Ernst & Sohn, Berlin 1960

- Klöppel, K., Möller, K.-H.: Beulwerte ausgesteifter Rechteckplatten, Band 2, Verlag Ernst & Sohn, Berlin 1968
- Protte, W.: Zum Scheiben- und Beulproblem längsversteifter Stegblechfelder bei örtlicher Lasteinleitung und bei Belastung aus Haupttragwirkung, Techn. Mitt. Krupp, Forschungsbericht, Band 33, Heft 2, 1975
- Fflüger, A.: Stabilitätsprobleme der Elastostatik, Springer-Verlag, Berlin 1964

Implementierung in 4H-EC3BL

Sowohl für die Einzelfelder ohne Steifen als auch für das Gesamtfeld mit Längssteifen wird der Beulwert, d.h. der Vergrößerungsfaktor zum Erreichen der kritischen Verzweigungslast α_{Cr} , bezogen auf die gesamte einwirkende Spannung σ_{Ed} , τ_{Ed} und/oder die einwirkende Querlast $F_{z,Ed}$ ermittelt.

Dazu werden die Spannungen σ_{Ed} , τ_{Ed} am Bruttoquerschnitt, d.h. einschließlich der Längssteifen, nach Abminderung der Flanschbreiten infolge Schubverzerrung berechnet.

Die Anzahl der zu berücksichtigenden Reihenglieder n_x, n_y, n_q berechnet das Programm in Abhängigkeit der geometrischen Bedingungen automatisch. Die Genauigkeit des Resultats wird mittels Iteration gewährleistet.

Beim **Verfahren der wirksamen Fläche** ergibt sich dann die kritische Verzweigungslast für das Platten- und Schubbeulen zu

$$\sigma_{cr} = \alpha_{cr} \cdot \sigma_{Ed} \dots und \dots \tau_{cr} = \alpha_{cr} \cdot \tau_{Ed}$$

die in die Berechnung des Beulschlankheitsgrads λ eingehen.

Diese genauere Ermittlung der Beulwerte darf für den Beulnachweis unter Querspannung nicht angewendet werden.

Bei der **Methode der reduzierten Spannungen** wird mit dem Laststeigerungsfaktor α_{cr} direkt der bezogene Beulschlankheitsgrad λ ermittelt.

Die Beulwertberechnung von langen schlanken Beulfeldern mit einer gering dimensionierter Querspannung $\sigma_{z,Ed}$ ist besonders aufwändig, da die Genauigkeit des Ergebnisses im Besonderen abhängig ist von der Anzahl an Reihengliedern in Längsrichtung des Beulfelds.

Aufgrund der durch die Beulfeldlänge beeinflussten zunehmenden Längsspannung (das Moment unter der Querlast wächst an) verringert sich der Beulwert mit zunehmendem Längen-/Höhenverhältnis.

Bei Variationen der Beulfeldlänge fällt auf, dass ab einem Längen-/Höhenverhältnis von etwa 10 die berechneten Beulwerte stark absinken.

pcae empfiehlt daher, das Verhältnis der Beulfeldabmessungen auf Länge/Breite = 10 zu begrenzen.

zur Hauptseite 4H-EC3BL, Beulnachweise

_

© pcae GmbH Kopernikusstr. 4A 30167 Hannover Tel. 0511/70083-0 Fax 70083-99 Mail dte@pcae.de